

616.5-002.157.2 : 612.112

1997-884

B 419 h

II

MEN: 5573



TÜRKİYE BİLİMSEL VE
TEKNİK ARAŞTIRMA KURUMU

THE SCIENTIFIC AND TECHNICAL
RESEARCH COUNCIL OF TURKEY

BEHÇET HASTALIĞINDA NÖTROFİL ENDOTEL

ADEZYONUNDAN SORUMLU FAKTORLERİN

ARAŞTIRILMASI-II

PROJE NO: TAG-1208

1997-884

TYD-BİLİM
TEKNİK ARAŞTIRMA
KURUMU-KUTUPHA

Tıp Araştırma Grubu

Medical Sciences Research Grant Committee

Sənəti: Enviye Kəmər Cəfərpaşa

616,5 - 002, 157, 2; 612, 112

6419 h

II

BEHÇET HASTALIĞINDA NÖTROFİL ENDOTEL

ADEZYONUNDAN SORUMLU FAKTÖRLERİN

ARAŞTIRILMASI-II

PROJE NO: TAG-1208

1997-884

Marmara Ün. Tıp F.
Hematoloji-İmmünotoloji
BD

Dr. ŞÜKRAN SAHİN (ÖZGÜN)

Prof. Dr. TEVFİK AKOĞLU

Dr. CEMİLE MANTAS

Prof. Dr. HASAN YAZICI

Prof. Dr. SABAHAİTTİN YURDAKUL

S- 40

R- 23

TÜRKİYE GÖLÜMSÜZ Vİ
TEKNIK İŞLETİMİ
KURUMU AUTOPHARMASI

ARALIK 1994

İSTANBUL

Bəyənə, Şubat 1995

19384

BİBLİYOGRAFİK BİLGİ FORMU	
1- Proje No: TAG-1208	2- Rapor Tarihi: 06.12.1994
3- Projenin Başlangıç ve Bitiş Tarihleri: 01 AĞUSTOS 1993 - 01 AĞUSTOS 1994	
4- Projenin Adı: Behçet Hastalığında Nötrofill Adezyonundan sorumlu faktörlerin araştırılması -II	
5- Proje Yürüttücüsü ve Yardımcı Araştırmacılar: Yürüttücü, Şükran Şahin (Özgün) Araştırmacılar: Cemile Mantaş, Sabahattin Yurdakul Danışman: Tevfik Akoğlu, Hasan Yazıcı	
6- Projenin Yürüttüğü Kuruluş ve Adresi: Marmara Üniversitesi Tıp Fakültesi Hematoloji İmmüno(loj)ii Bilim Dalı Altunizade İstanbul	
7- Destekleyen Kuruluş(ların) Adı ve Adresi:	
8- Öz (Abstract): Biz daha önce Behçet'li hastalarda nötrofillerin endotel hücresinde adezyonun arttığını göstermiştık. Bu hastaların nötrofillerde β2 integrinlerin yüksek oranda ekspresed olduğunu ve hastaların serum IL-8 düzeylerinin de sağlıklı kişilerden daha yüksek olduğunu bulmuştuk. Bu çalışmada artmış adezyonun mekanizmaları incelendi. Behçet'li hastalarda nötrofil yüzeyinden LECAM molekülünün kolayca döküldüğü görüldü. Hücre yüzeyinin sodyum azid ilave edilerek korunmasından sonra yapılan çalışmada LECAM düzeyi hastalarda 98.6 ± 3.6 , kontrollerde 98 ± 2 olarak bulundu. Sodyum azid ilave edilmeden yapılan çalışmada ise LECAM molekülü hasta nötrofillerde 26 ± 28.5 , kontrol nötrofillerde 93.4 ± 7.1 olarak bulundu ($p < 0.001$). Behçet'li hastaların plazmalarında, solubil LE CAM (sLECAM) düzeyinin ise sağlıklı kişilerden daha düşük olduğu görüldü. Sodyum azid ilave edilerek elde edilen plazmada sLECAM, hastada $1.58 \pm 0.4 \mu\text{g/ml}$, kontrolde $1.98 \pm 0.6 \mu\text{g/ml}$ olarak ölçüldü ($p < 0.05$). Sodyum azid ilave edilmeden elde edilen plazmada ise sLECAM, hastada $1.82 \pm 0.5 \mu\text{g/ml}$, kontrolde $2 \pm 0.5 \mu\text{g/ml}$ olarak ölçüldü ($p > 0.5$). Kontrollerin sodyum azidli ve sodyum azidsız plazmalarında sLECAM düzeyleri arasında anlamlı fark görülmmedi. Hastada ise sodyum azidli ve sodyum azidsız plazmalarla sLECAM düzeyleri arasında istatistiksel olarak anlamlı fark bulundu ($p < 0.1$). Hasta monositlerinin yüzeyinde aktivasyon belirteci olan CD14, 25F9 ve G16/1 moleküllerinin artmış olduğu görüldü. Hastada, CD14 94.9 ± 3.7 , 25F9 48.1 ± 32.4 ve G16/1 15 ± 16.2 , kontrolde ise, CD14 87.3 ± 7.8 , 25F9 16.4 ± 15 ve G16/1 1.4 ± 1.4 olarak saptandı. Hasta serumlarında solubil CD14 (sCD14) düzeyinin artmış olduğu saptandı. sCD14 hastada, $3.1 \pm 9.2 \mu\text{g/ml}$, kontrolde $1.39 \pm 0.73 \mu\text{g/ml}$ olarak bulundu. Hasta monosit kültür süpernatansının PMN-endotel adezyonunu artırdıkları görüldü. Adezyon oranı, hasta monosit kültür süpernatansı varlığında 53.4 ± 17.9 , kontrol monosit kültür süpernatansı varlığında ise 38.4 ± 9.7 olarak bulundu ($p < 0.05$). Lipopolisakkarid (LPS) ve forbolmiristatasetat (PMA) ile uyarılan sonra da adezyon artırıcı etkide fark olmasına rağmen bu fark istatistiksel olarak anlamlı bulunmadı. Anahtar Kelimeler: LECAM, Behçet hastalığı, Adezyon, Monosit, IL-8.	
9- Proje ile ilgili Yayın/Fablibillerle ilgili Bilgiler 1. VIII. Euler Symposium "Vasculitis" (İki adet poster) 2. IX. Ulusal Romatoloji Kongresi (Bir adet bildiri)	
10- Bilim Dalı: İmmüno(loj)ii, Bilim Dalı Doçentlik B. Dalı Kodu: ISIC Kodu: Uzmanlık Alanı Kodu:	
11- Dağıtım (*): <input type="checkbox"/> Sınırlı <input checked="" type="checkbox"/> Sınırsız	
12- Raporun Gizlilik Durumu: <input type="checkbox"/> Gizli <input checked="" type="checkbox"/> Gizli Değil	

(*) Projenizin Sonuç Raporunun ullaştırılmasını istediğiniz kurum ve kuruluşları ayrıca belirtiniz

BİBLİYOGRAFİK BİLGİ FORMU

1- Proje No: TAG-1208

2- Rapor Tarihi: 06.12.1994

3- Projenin Başlangıç ve Bitiş Tarihleri: 01 AGUSTOS 1993 - 01 AGUSTOS 1994

4- Projenin Adı: Behçet Hastalığında Nötrofil Adezyonundan sorumlu faktörlerin araştırılması -II

5- Proje Yürüttüçü ve Yardımcı Araştırmacılar: Yürüttüçü : Şükran Şahin (Özgün)
Araştırmacılar: Cemile Mantaş, Sabahattin Yurdakul
Danışman: Tevfik Akoğlu, Hasan Yazıcı6- Projenin Yürüttüğü Kuruluş ve Adresi:
Marmara Üniversitesi Tıp Fakültesi Hematoloji İmmünloloji
Bilim Dalı Altunizade İstanbul

7- Destekleyen Kuruluş(ların) Adı ve Adresi:

ABSTRACT

8

We have shown previously that neutrophil adhesion to endothelial cells was high in patient with Behçet's disease. Furthermore β_2 integrin molecules were found to be highly expressed on neutrophils and serum IL-8 level was also high. In this study we have further evaluated mechanisms responsible in increased adhesion.

LECAM expression on neutrophils was low ($%26 \pm 28.5$) in Behçet's patients and this raised up to normal levels ($%98.6 \pm 3.6$) when blood samples collected into sodium azide containing tubes for cell membrane protection. Soluble LECAM (sLECAM) level in plasma was also significantly low but even became more significantly depressed when sodium azide added to blood samples before separation plasma from cellular compartment. All these changes were significantly different from normal controls.

In order to find the source of high serum IL-8 levels in Behçet's patients, purified monocytes were examined for activity markers. Behçet's patients monocytes were found to express increased CD14, 25F9 and G16/1 molecules on their surface as compared to normal control monocytes (CD14 94.9 ± 3.7 , 25F9 48.1 ± 32.4 and G16/1 15 ± 16.2 in patients, CD14 87.3 ± 7.8 , 25F9 16.4 ± 15 and G16/1 14 ± 1.4 in controls). Soluble CD14 level was also high in patients' plasma also indicating presence of activated monocytes in these patients.

Patient and control monocytes were cultured with LPS and PMA and collected culture supernatants were tested in neutrophil adhesion experiments performed with normal neutrophils. It has been shown that patients monocytes culture supernatants stimulated normal neutrophil adhesion to endothelial cells significantly.

A1 Key Words: LECAM, Behçet's disease, adhesion, monocyte, IL-8.

9- Proje ile ilgili Yayın/Fabliğlerle ilgili Bilgiler

1. VIII. Eular Symposium "Vasculitis" (İki adet poster)
2. IX. Ulusal Romatoloji Kongresi (Bir adet bildiri)

10- Bilim Dalı: İmmünloloji Bilim Dalı

Doçentlik B. Dalı Kodu:

ISIC Kodu:

Uzmanlık Alanı Kodu:

11- Dağıtım (*): Sınırlı Sınırsız

12- Raporun Gizlilik Durumu :

 Gizli Gizli Değil

13) Projenizin Sonuç Raporunun ılaçtırılmasını istediğiniz kurum ve kuruluşları ayrıca belirtiniz

İÇİNDEKİLER

	Sayfa
I. GENEL BİLGİLER	
1. Behcet hastalığında immün bozukluklar	1-2
2. Endotel lökosit adezyon molekülleri	2-5
3. Nötrofil-endotel adezyonunda sitokinler	5-7
II. MATERİYAL VE METOD	8-20
III. BULGULAR	21-25
IV. TARTIŞMA	26-30
V. KAYNAKLAR	31-33
VI. TABLOLAR	34-40

ÖNSÖZ

Bundan önceki çalışmamızda (TAG-765) Behçet'li hastaların nötrofillerde adezyon moleküllerini incelemiş ve CD11a nin arttığını saptamıştık. Ayrıca Behçet'li hasta serumlarının, sağlıklı kişilerin nötrofilleri üzerindeki CD11a ve CD11b moleküllerini artırıcı etkisi olduğunu saptadık. Behçet'li hastalarda IL-8 düzeyini de yüksek bulduk. Yine bu hasta serumlarının PMN-endotel adezyonunu artırıcı etkisi olduğunu gördük. Bütün bu bulgulardan hareketle bu çalışmada, Behçet'li hastalarda yine bir adezyon molekülü olan LECAM molekülünü incelendi, Behçet'li hasta monositleri ve bu hastalarda artmış olan IL-8 in hücresel kaynağını araştırıldı. Bu proje Türkiye Bilimsel ve Teknik Araştırma Kurumu'nda desteklenmiştir (TAG-1208).

ÖZET

Biz daha önce Behçet'li hastalarda nötrofillerin endotel hücresinde adezyonun arttığını göstermiştık (TAG-765). Ayrıca bu hastaların nötrofillerinde β2 integrinlerin yüksek oranda eksprese edildiğini ve hastaların serum IL-8 düzeylerinin de sağlıklı kişilerden daha yüksek olduğunu bulmuştuk.

Bu çalışmada, artmış adezyonun muhtemel mekanizmaları incelendi. Behçet'li hastalarda nötrofil yüzeyinden LECAM molekülünün kolayca döküldüğü görüldü. Hücre yüzeyinin sodyum azid ilave edilerek korunmasından sonra yapılan çalışmada LECAM düzeyi hastalarda 98.6 ± 3.6 , kontrollerde 98 ± 2 olarak bulundu. Sodyum azid ilave edilmeden yapılan çalışmada ise LECAM molekülü hasta nötrofillerinde 26 ± 28.5 kontrol nötrofillerinde 93.4 ± 7.1 olarak bulundu ($p < 0.001$).

Behçet'li hastaların plazmalarında, soluble LECAM (sLECAM) düzeyinin ise sağlıklı kişilerden daha düşük olduğu görüldü. Sodyum azid ilave edilerek elde edilen plazmada sLECAM, hastada 1.58 ± 0.4 $\mu\text{g}/\text{ml}$, kontrolde 1.98 ± 0.6 $\mu\text{g}/\text{ml}$ olarak ölçüldü ($p < 0.05$). Sodyum azid ilave edilmeden elde edilen plazmada ise sLECAM, hastada 1.82 ± 0.5 $\mu\text{g}/\text{ml}$, kontrolde 2 ± 0.5 $\mu\text{g}/\text{ml}$ olarak ölçüldü ($p > 0.5$). Kontrollerin sodyum azidli ve sodyum azidsız plazmalarında sLECAM düzeyleri arasında anlamlı fark görülmeyecektir. Hastada ise sodyum azidli ve sodyum azidsız plazmalarında sLECAM düzeyleri arasında istatistiksel olarak anlamlı fark bulundu ($p < 0.1$).

Hasta monositlerinin yüzeyinde aktivasyon belirteci olan CD14, 25F9 ve G16/1 moleküllerinin artmış olduğu görüldü. Hastada, CD14 94.9 ± 3.7 , 25F9 48.1 ± 32.4 ve G16/1 15 ± 16.2 , kontrolde ise, CD14 87.3 ± 7.8 , 25F9 16.4 ± 15 ve G16/1 1.4 ± 1.4 olarak saptandı. Hasta serumlarında solubl CD14 (sCD14) düzeyinin artmış olarak bulundu. sCD14 hastada, 8.1 ± 9.2 $\mu\text{g}/\text{ml}$, kontrolde 1.39 ± 0.73 $\mu\text{g}/\text{ml}$ olarak saptandı.

Hasta monosit kültür süpernatanlarının PMN-endotel adezyonunu artırdıkları görüldü. Adezyon oranı, hasta monosit kültür süpernatantı varlığında 53.4 ± 17.9 , kontrol monosit kültür süpernatantı varlığında ise 38.4 ± 9.7 olarak bulundu ($p < 0.05$). Lipopolisakkarid (LPS) ve forbolmiristatastat (PMA) ile uyarıldan sonra da adezyon artırıcı etkide fark olmasına rağmen bu fark istatistiksel olarak anlamlı bulunmadı.

ABSTRACT

We have shown previously that neutrophil adhesion to endothelial cells was high in patients with Behçet's disease. Furthermore $\beta 2$ integrin molecules were found to be highly expressed on neutrophils and serum IL-8 level was also high. In this study we have further evaluated mechanisms responsible in increased adhesion.

LECAM expression on neutrophils was low ($%26\pm28.5$) in Behçet's patients and this raised up to normal levels ($%98.6\pm3.6$) when blood samples collected into sodium azide containing tubes for cell membrane protection. Soluble LECAM (sLECAM) level in plasma was also significantly low but even became more significantly depressed when sodium azide added to blood samples before separation plasma from cellular compartment. All these changes were significantly different from normal controls.

In order to find the source of high serum IL-8 levels in Behçet's patients, purified monocytes were examined for activity markers. Behçet's patients monocytes were found to express increased CD14, 25F9 and G16/1 molecules on their surface as compared to normal control monocytes (CD14 $%94.9\pm3.7$, 25F9 $%48.1\pm32.4$ and G16/1 $%15\pm16.2$ in patients, CD14 $%87.3\pm7.8$, 25F9 $%16.4\pm15$ and G16/1 $%1.4\pm1.4$ in controls).

Soluble CD14 (sCD14) level was also high in patients plasma also indicating presence of activated monocytes in these patients.

Patients and controls monocytes were cultured with LPS and PMA and collected culture supernatants were tested in neutrophils adhesion experiments performed with normal neutrophils. It has been shown that patients monocytes culture supernatants stimulated normal neutrophil adhesion to endothelial cells significantly.

GENEL BİLGİLER

BEHÇET HASTALIĞINDA İMMÜN BOZUKLUKLAR

Behçet hastalığı ilk kez 1937 yılında Dr.Hulusi Behçet tarafından tanımlanan pek çok organ tutulumu ile karakterize, sistemik, kronik bir hastaliktır. Oral aft, genital ülserasyon, üveit, deri lezyonları gibi mukokütanöz semptomlar sıkılıkla görülmektedir.

Hastalığın etiyolojisi ile ilgili bugüne kadar tam bir açıklama yapılamamıştır. Bu nedenle hastalığın tanısında ve takibinde yardımcı olacak spesifik bir laboratuvar testi hâla yoktur. Hastaların lezyonlarının histolojik görünümü, yoğun PMN infiltrasyonunun görüldüğü akut enflamasyon özelliklerini taşımaktadır.

Bu hastalığın etiyolojisinde genetik bir baz üzerinde enfeksiyöz faktörlerin sorumlu olabileceği düşünülmektedir. Bu yönde en çok araştırılan iki ajan Herpes Simplex Virus-1 (HSV-1) ve çeşitli streptokok suslarıdır. Behçet hastalarından alınan serumlarda HSV-1 e karşı T-lenfosit cevabının zayıf olduğu ve serum IFN- γ düzeyinin de artmış olduğu saptanmıştır (Denman, 1991). Etiyolojide hangi ajan yer alırsa alsın Behçet'li hastalarda immün sistemin çok farklı yönlerinin bozuk olduğu bilinmektedir.

Asıl bozukluğun ise PMN fonksiyonları ile ilişkili olduğu düşünülmektedir. Örneğin, paterji testinin erken döneminde (ilk 24 saat) ve yeni gelişen eritema nodosum lezyonlarında ağırlıklı olarak mononükleer hücrelerin infiltrasyonu gözlenmiştir (Yamana, 1982).

Behçet hastalığında PMN aktivitesinin artmış olduğu da bildirilmiştir. Örneğin, PMN kemotaksi, lizozomal enzim salınımları, fagositoz, O₂ metabolizmasında artış ve endotel hücrelerine sitotoksik aktivite artışı olduğu rapor edilmiştir (Niwa, 1982). PMN lerin endotel hücrebine adezyonları da artmıştır (Özgün, 1993). Bundan başka PMN yüzeyinde adezyon moleküllerinden CD11a molekülü sağlıklı kişilerden daha yüksektir (Özgün, 1993).

Ayrıca Behçet'li hastalarda endotel hücre bozuklukları da rapor edilmiştir. Bunlar arasında azalmış prostasiklin yapımı ve fibrinolitik aktivitede bozukluk sayılabilir (Kansu, 1993).

Behçet'li hastaların serumlarında IL-8 düzeyleri de yüksektir (Özgün, 1993). Bu bulgu artmış PMN kemotaksi ve artmış adezyonu açıklayabilir.

Endotel ve PMN fonksiyonlarındaki bu ve bilinmeyen değişiklikler Behçet hastalarında sık görülen damar bozuklukları ve bununla ilişkili klinik belirtilerden sorumlu olabilir.

ENDOTEL-LÖKOSİT ADEZYON MOLEKÜLLERİ

Enflamatuvar yanittaki ilk aşama nötrofillerin damar endoteli hücrelerine yapışmasıdır. Nötrofiller ancak bu aşamadan sonra dokulara göç ederler.

Lökositlerin dokulara göçü, lökosit ve endotel hücrelerinin yüzeyindeki adezyon molekülleri arasındaki dinamik etkileşme ile kontrol edilir.

Adezyonda olaya aktif olarak katılan bu moleküller yapısal özellikleri bakımından beş gruba ayrırlırlar.

- 1.İmmünglobulin süper gen ailesi
- 2.Integrin süper ailesi
- 3.Selektinler
- 4.katedrinler ve diğer sınıflanamayan adezyon molekülleri

1.İMMÜNGLOBULİN SÜPER GEN AİLESİ

İmmünglobulin molekülü ile homoloji gösteren moleküllerdir.Bu grupta ilk tanımlanan ve üzerinde en fazla çalışma yapılmış olan ICAM-1 molekülüdür.Endotel hücreleri,uyarılmış fibroblastlar,keratinositler ve düz kas hücrelerinin yüzeyinde bulunur.Endotel hücre yüzeyinde sürekli bulunmakla beraber endotel hüresi sitokinlerle aktive olduğunda hücre yüzeyindeki miktarı artar.ICAM-1 ve ICAM-2 olarak iki farklı tipi tanımlanmıştır.ICAM-1 LFA-1 ve CR3'e bağlanır. ICAM-2 ise sadece LFA-1'e bağlanır (Zimmerman, 1992).

Bu ailenin bir diğer üyesi ise VCAM-1 dir. Bu molekül, lenfosit ve monositlerin yüzeyinde bulunan ve VLA olarak isimlendirilen moleküle bağlanır. Endotel hücresi yüzeyinde ancak stimülasyondan sonra görünür. Bu molekül de fibronektin, laminin gibi hücreler arasındaki dokularda bulunur (Hogg, 1992).

2. İNTEGRİNLER

$\beta_1, \beta_2, \beta_3$ integrinler olarak üç grupta toplanabilirler. β_1 ve β_2 integrinler PMN lerin granüllerinde bulunur ve adesomlar olarak isimlendirilirler.

β_2 integrinler alfa ve β zincirlerinden oluşan heterodimerik yapıda glikoproteinlerdir. Alfa zincirinin üç tipi bulunmaktadır. Bunlar CD11a, CD11b ve CD11c olarak isimlendirilirler. β zincirine ise CD18 adı verilmiştir. Her bir alfa zinciri β zinciri ile nonkovalan bağlıdır. Böylece oluşan CD11a+CD18 molekülü LFA-1, CD11b+CD18 molekülü Mac-1, CD11c+CD18 molekülü ise P 150,95 adını alır. Oluşan bu heterodimerler ICAM molekülleri ile birleşirler. Bu integrinler hücre yüzeyinde sürekli bulunurlar. Ancak PMN lerin aktivasyonu ile bu moleküllerde kalitatif ve kantitatif artış görülür (Stacker, 1991).

3. SELEKTİNLER

Selektin ailesinin üyelerinin her birinin amino terminal ucu, memelilerdeki C-tip lektine benzer. Bu moleküller, epidermal growth faktöre benzeyen amino asit sekanslarına ve kompleman regülatör proteinlerinin küçük bir ünitine benzeyen ve çok sayıda tekrarlayan amino asit dizinimlerine sahiptirler. Adezyonda lektin kısmı önemlidir.

Selektinlerin üç tipi tanımlanmıştır.

- 1.E-Selektin
- 2.P-Selektin
- 3.L-Selektin

E-Selektin; endotel hücresi yüzeyinde bulunur. ELAM-1 adı verilen bu molekül normalde endotel hücresi yüzeyinde bulunmaz ancak aktivasyonla ortaya çıkar. Endotel hücresi IL-1 veya TNF ile stimüle edildiğinde ELAM-1 expresyonu görülür. Bu molekülün yüzeyde belirmesi için en az bir saat gereklidir. 4-8 saatte masimuma ulaşır ve uyarı devam etse bile 24-48 saat sonra kaybolur. Genellikle β2 integrinlerle bağlanır. Ancak nötrofil endotel adezyonunda β2 integrinler dışında da başka reseptörlerle bağlanarak olaya katıldığı düşünülmektedir. Çünkü β2 integrinlere karşı kullanılan antikorlarla nötrofil-endotel adezyonu kısmen inhibe edilebilmektedir. Endotel yüzeyinde bulunuşu lökositlerin adezyonuna neden olur. T lenfositler ve özellikle bellek T lenfositleri bu moleküle bağlanarak dokulara göç ederler. Aynı şekilde monositler de aktive olduklarında bu moleküle bağlanarak damar dışına çıkarlar (Pigott, 1991).

P-Selektin; histamin veya trombinle endotel hüresinin aktivasyonundan birkaç saniye sonra endotel hüresinin granüllerinden plazma membranına transfer olur. P-Selektinlere PMN lerin bağlanması için aktive olmaları ve β2 integrinlerin varlığı gerekmektedir. PMN lerin endotel hücresi üzerinde yuvarlanmalarını (rolling) sağlamak şeklinde önemli görevi bulunur. Bu molekül CD62P olarak bilinir. Diğer isimleri ise GMP-140 ve PADGEM dir (Zimmerman, 1992).

L-Selektin; monosit, nötrofil ve lenfositlerin bazı alt gruplarında bulunan yüzey molekülüdür. Lektin/ hüresel yapışma molekülü ailesi olarak tanımlanmışlardır ve bu ailenin bir üyesi olan lektin-adeyzon-molekülü-1 (LECAM-1) nötrofil endotel adezyonunda önemlidir. Stimüle olmamış nötrofil yüzeyinde bulunur. Uyarılmış endotel ile PMN lerin ilk adeziv etkileşmesini regule eder. Nötrofil-endotel etkileşmesinin ilk aşamasındaki yapışma gerçek anlamda yapışma değildir ve bu PMN lerin endotel üzerinde yuvarlanması şeklinde olur (Zimmerman, 1992).

Bu aşamada LECAM-1, PMN lerin vasküler endotel hüresi (VEC) üzerinde yuvarlanmasıını sağlar ve daha sonra β2 integrinlerin aktive olması ile gerçek PMN-VEC yapışması oluşur. β2 integrinler aktive olup esas adezyon oluştuktan sonra LECAM-1 molekülü PMN yüzeyinden ortama döküllür. Daha sonra bu molekül PMN lerin endotele adezyonunu inhibe eder. Bu inhibisyon serbest, LECAM-1 molekülünden endotel üzerindeki

Düzenlenme
Gösterim
Makrofajlar
Endotel hücreleri
Nötrofiller
Sıtokinler

ligand ile birleşmesi ve daha sonra, nötrofillerin bu liganda bağlanmasıının engellenmesi ile gerçekleşir. Ancak LECAM-1'in endotel üzerinde başka ligandının da olabileceği düşünülmektedir (Smith, 1991).

PMN yüzeyinden LECAM-1 molekülünün koparılmasının IL-8'in etkisi ile olduğu ileri sürülmektedir. IL-8, PMN yüzeyinden LECAM-1'in kopması ve β2 integrinlerin aktive olmasına neden olmaktadır. IL-8'in etkisi ile gerçekleşen LECAM-1 ve β2 integrinlerdeki değişiklikler ekstravazasyon için gerekli olan adezyonda kritik rol oynar (Rot, 1992).

MEL-14 molekülü, LECAM-1 molekülünün farelerdeki analogudur ve "lenfosit homing reseptör" olarak tanımlanmıştır. Aktive olmamış nötrofillerin endotele bağlanmasıını sağlar. Ancak nötrofillerin, enflame dokudan geçişinde down regulatör role sahiptir. PMN'lerin kemotaktik aktivasyonundan sonra, 96 k.d. luk bir protein olarak hücre yüzeyinden ortama dökülür. Bu protein, aktive olmuş PMN'ler tarafından normal dokunun hasar görmesini ve hücre ekstravazasyonunu engeller (Kishimoto, 1989).

Yine bir L-Selektin olan LAM-1 (lökosit adezyon molekülü) lenfositlerin "high endothelial venül'e (HEV) yapışmasına aracılık eder. Lenfosit ve nötrofiller aynı LAM-1 molekülünü taşırlar. Lökositlerin stimülasyonundan sonra LAM-1 molekülünün afinitesine ait değişiklikler oluşur ve bu olgu lökosit migrasyonunu direkt etkiler. MEL-14 ve LAM-1 birlikte, lenfositlerin HEV'e yapışmasını sağlarlar.

NÖTROFİL-ENDOTEL ADEZYONUNDA SİTOKİNLER

Nötrofillerin endotele adezyonu ve bunu sağlayan yüzey reseptörlerinin sayısı ve aviditesinde pek çok mediatörün etkili olduğu gösterilmiştir. Bu mediatörler lenfositlerden, nötrofillerden ve bizzat endotel hücrelerinden salgılanabilirler. Bu sitokinler yapışma moleküllerini etkiledikleri gibi endotel hüresinin başka fonksiyonlarını da module edebilirler. Aşağıda nötrofil-endotel adezyonunda rol oynadığı kanıtlanan önemli mediatörler kısaca anlatılmaktadır.

1. İnterlökin-1 (IL-1)

Endotel hüresinin PAF ("platelet activating factor") ve PDGF ("platelet derived growth factor") yapımını ve endotel üzerinde ICAM-1 ve ELAM-1 ekspresyonunu artırır (Mantovani, 1989).

2. Tümör nekrozis faktör (TNF)

Endotel üzerine etkisi IL-1 gibidir. Lökositlerin endotele adezyonunu, IL-1 salınımını ve adezyon moleküllerinin ekspresyonunu artırır.

3. İnterferon (IFN)

Endotel üzerine etkisi kendisine hastır ve diğer sitokinlerden farklıdır. Endotel hüresini stimüle ederek onun aksesuvar hücre gibi davranışmasına neden olur. Endotel hüresi üzerinde ICAM-1 ekspresyonunu çok yavaş olmakla beraber artırır.

4. Transforming growth faktör (TGF)

Endotel üzerinde modülatör aktiviteye sahiptir. Nötrofillerin endotel hüresine yapışması TGF- β ile baskılanır. TNF ve IL-1'in nötrofil adezyonu üzerindeki etkilerini baskılar (Gamble, 1991).

5. İnterlökin-8 (IL-8)

Endotel hücreleri aktive olduklarında IL-8 sentez ederler. Bu molekülün sentezi, stümlasyondan 4-24 saat sonra maksimum düzeye ulaşır (Schröder, 1989). IL-8, PMN ler için kemotaktik etkiye sahiptir. Endotel hüresi tarafından sentez edildiği zaman PMN lerin transmigrasyonunu etkileyebilir (Brandt, 1992). IL-8 monosit ve lenfositlerden de salınır. Nötrofillerin adezyonları ve motiliteleri üzerine etki eder. Nötrofil yüzeyinde IL-8 için reseptör bulunmaktadır. Bu reseptörlerle IL-8 hücre tarafından içeri alınır. IL-8 endotel hüresi tarafından solindiktan sonra endotel hücre yüzeyi ile birleşir ve hücrenin lümene bakan yüzeyinde depolanır. IL-8, PMN yüzeyinde spesifik reseptörlerle bağlanarak onları aktive eder. Sonuçta PMN lerde $\beta 2$ integrinlerini artırarak gerçek PMN-VEC adezyonu gerçekleşir. IL-8'in bir başka etkisi ise PMN ler üzerinde

LECAM-1 molekülünün koparılıp ortama dökülmesini sağlamaktır (Rot, 1992). Bunun sonucu olarak PMN lerin adezyonu inhibe olur. Solubl LECAM-1 molekülünün PMN yüzeyindeki adezyon molekülleri ile kompetisyon'a girerek bunu gerçekleştirdiği düşünülmektedir.

IL-8'in çift yönlü etkisi, adezyonda regülatör görevi olduğunu göstermektedir (Huber, 1991). Ancak bunun mekanizması tam olarak bilinmemektedir. Endotel hücresi yüzeyinde depolanan IL-8, adezyonun up-regülasyonuna neden olurken, serbest dolaşan IL-8 down-regülasyonuna neden olmaktadır (Gimbrone, 1989).

6. Trombosit aktive eden faktör (PAF)

Endotel hücrelerinden salınan bu molekülün lökositler üzerinde proadeziv etkisi olduğu gösterilmiştir. Endotel üzerinde sürekli bulunmaz, ancak endotel stimüle edildiğinde 1-2 dakika içinde sentezlenir. Sentezlenen bu molekül ortama salınmaz ve hücre yüzeyinde tutulur. Endotel yüzeyine bağlı olan PAF, PMN leri aktive eder. Bu aktivasyon, nötrofil yüzeyindeki PAF reseptörü ile gerçekleşir. PAF ile bu reseptörün bağlanması PMN yüzeyinde CD11a/CD18 ve CD11b/CD18 moleküllerinin up-regülasyonuna neden olur. PAF, endotel yüzeyinde eksprese olduğunda, PMN lerin adeziv özelliğini artıran sinyal gibi işlev görür. PAF tarafından PMN lerin aktivasyonu sonucu bu hücrelerin kemotaktik faktörlere yanıtı artar. Sıvı fazdaki PAF, hücre yüzeyinden L-Selektinlerin dökülmesine neden olur (Zimmerman, 1992).

MATERIAL VE METOD

HASTALAR

Cerrahpaşa Tıp Fakültesi Romatoloji Bölümü Dalında Behçet hastalığı tanısı ile takip edilen ve "International study group", kriterlerine uygun hastalardan, rutin izlemleri sırasında 10 ml venöz kan alındı. Kanlar çalışma protokolüne bağlı olarak; EDTA li, EDTA ve sodyum azidli; heparinli veya direkt olarak alındı. Kan örneklerinin bir bölümünü hemen buz ile soğutulmuş su banyosuna konurken, diğer bölümünü oda ısısında muhafaza edildi. Serum ve plazma ayrılarak porsiyonlandı ve kullanılıncaya kadar -50°C derecede saklandı. Bu çalışma için, 112 hastadan ve sağlıklı kontrol olarak, değişik zamanlarda, toplam 60 laboratuvar personeli ve tıp fakültesi öğrencisinden kan alındı.

MONONÜKLEER HÜCRELERİN VE NÖTROFİLLERİN AYRILMASI

Heparinli veya EDTA li kanlar oda ısısında 30-45 dakika bekletilip 'uffy coat' un ayrılması sağlandı. Uffy coat pipet ile alındı, ficoll içeren lenfoprep solusyonu (ρ 1.077) üzerine tabakalandırılarak yayıldı ve 30 dakika 400 g de santrifüj edildi. Bu sürenin sonunda ficoll üstünde kalan mononükleer hücreler ayrı bir tüpe ve ficollün altında kalan nötrofiller ayrı bir tüpe alındı. Hücreler ayrı ayrı fosfat tampon ile iki kez yıkandı. Nötrofil bulunan tüpteki eritrosit kontaminasyonunu ortamdan uzaklaştırmak için hipotonik şok yapıldı. Bu amaçla %0.2 sodyum klorür solusyonundan hücrelerin üzerine 1 ml ilave edildi ve 60 saniye süre ile çalkalandı, daha sonra % 1.6 luk sodyum klorür suspansiyonundan 1 ml ilave edilerek ortam izotonik hale getirildi ve santrifüj edilip süpernatant atıldı. Bir defada eritrositlerin tamamının lize edilemediği durumlarda bu işlem 1-2 kez daha tekrarlandı. Nötrofiller ve mononükleer hücreler ayrı ayrı daha sonra çalışılacakları tampon veya mediumlarda resuspande edildi.

ENDOTEL HÜCRE KÜLTÜRÜ

Endotel hücreleri daha önceki projede tanımladığımız yöntemle (TAG-765) elde edildi. Kisaca, göbek kordonlarından kollajenaz enzimi kullanarak endotel hücreleri izole edildi ve kültürü yapıldı. Kültür mediumu olarak RPMI kullanıldı. Mediuma, %20 fotal dana serumu, 2mM L-glutamin, %0.225 sodyum bikarbonat, 5 µg/ml gentamisin, 5U/ml heparin, ve endotel hücresi growth faktörü olarak kendi üretimimiz olan (yöntemi TAG-765 nolu projede açıklanmıştır ve yayınlanmak üzere "Thrombosis Research" isimli dergiye gönderilmiştir) 75 µg/ml fare beyin ekstraktı eklendi. Hücreler kültür kabının tabanını doldurdukça pasaj yapılarak çoğaltıldı. Üreyen hücrelerin endotel hücresi olduğu TAG-765 te açıklandığı gibi, kültür süpernatanında Von Willebrand faktör tayini ile saptandı. Adezyon çalışmalarında fibroblast ve düz kas hücrelerini kültür ortamından ekarte edebilmek için üçüncü pasajdan sonraki hücreler kullanıldı. Hücrelerin fazla yaşılmamasının etkilerini önlemek için ise 8. pasajdan sonraki hücreler kullanılmadı. Üçüncü pasajdan sonra endotel hücreleri düz tabanlı, 96 kuyulu kültür plaklarına, her kuyuda 20.000 hücre olacak şekilde ekildi, kültüre devam edildi ve hücreler kültür kabının tabanını tamamen kapladığında adezyon testi yapıldı.

MONONÜKLEER HÜCRE KÜLTÜRLERİ (Monosit, lenfosit)

Bu amaçla Behçet'li 27 hasta ve sağlıklı 17 kişiden kan alınarak yukarıda tanımlanan dansite gradienti yöntemi ile mononükleer hücreleri ayırdı.

Monosit kültürü: Yukarıda anlatıldığı şekilde Behçet'li hasta ve sağlıklı kişilerden mononükleer hücreler steril koşullarda ayrıldı. Hücreler 2×10^6 /ml olacak şekilde RPMI medium içinde resuspande edildi. Yirmidört kuyulu kültür plakalarının her kuyusuna 1 ml bu hücre suspansiyonundan ilave edilip 37°C de %7 CO₂ bulunan ortamda 1 saat inkübe edilip monositlerin kültür plaqının tabanına yapışması sağlandı. Yapışmayan hücreler (lenfositler) aspire edilerek ayırdı. Kuyular iki kez medium ile yıkandıktan sonra lenfositler tamamen uzaklaştırıldı. Her kuyuya 0.4ml medium ilave

edilerek kültür yapıldı. Birer kuyuda sadece medium ile kültür yapılırken birer kuyuya da 10 ng/ml forbolmiristatasetat (PMA) veya 100 ng/ml lipopolisakkarit (LPS) ilave edilerek hücreler uyarıldı.

Lenfosit kültürü: Monosit ayırma işleminden sonra elde edilen yapışmayan hücrelerin lenfosit oldukları, monosit yüzey belirteci olan CD14 molekülüne karşı monoklonal antikor kullanılarak flow sitometrik olarak saptandı. Elde edilen hücrelerin pür lenfosit olduklarından emin olunduktan sonra lenfosit kültürü yapıldı. Bu amaçla yapışmayan hücreler 2×10^6 /ml olacak şekilde medium içinde resuspande edildi ve yirmidört kuyulu kültür plaklarına her kuyuya 200.000 hücre düşecek şekilde dağıtıldı. Kültür ortamına PMA ve LPS ayrı ayrı, yukarıda anlatılan konsantrasyonlarda ilave edilerek kültür yapıldı.

Mononükleer hücre kültürü: Periferik kandan elde edilen mononükleer hücreler (monosit ve lenfosit birarada) 2×10^6 /ml hücre olacak şekilde medium içinde resuspande edildi ve yukarıda lenfosit kültüründe tarif edildiği şekilde kültürü yapıldı.

Her üç tür kültür süpernatanları 24. ve 48. saatlerin sonunda toplandı ve IL-8 düzeyleri ölçmek üzere -50°C de saklandı. Kültür süresince hücre beslemesi yapılmadı.

Kültür mediumu olarak RPMI kullanıldı ve bunu %10 fötal dana serumu, 2mM L-glutamine, %0.225 sodyumbikarbonat, 5 $\mu\text{g}/\text{ml}$ gentamisin eklendi.

MONOSIT İZOLASYONUNDA PURİFİKASYONUN BASARI SININ ARASTIRILMASI:

Monosit kültürü yapmak amacı ile plastik petriye yapıştırma yöntemi ile monositler izole edildikten sonra, yapıştırma öncesi ve yapıştırma sonrası hücre yüzeyinde CD14 varlığı araştırıldı Anti-CD14 monoklonal antikoru (Coulter USA) ve flow sitometri ile yapılan analiz sonunda CD14 taşıyan hücre (CD14 monosit belirteci olarak bilinir) populasyonunun, yapıştırma işleminden sonra tamamen kaybolduğu görülperek yöntemin güvenilirliği saptandı.

ADEZYON TESTİ

Sağlıklı 2 kişiden heparinli venöz kan alınarak yukarıda anlatıldığı gibi nötrofiller izole edildi ve son yıkamadan sonra, 2×10^6 /ml hücre olacak şekilde RPMI medium içinde resuspande edildi.

Doksanaltı kuyulu plakta üreyen ve kültür kabının tabanını tamamen kaplayan endotel hücrelerinin kültür mediumu atıldı. Hücreler iki kez 37°C ye ısitsılmış RPMI ile yıkandı. Her kuyuya 50 μl nötrofil suspansiyonu ve monosit kültür süpernatanları eklendi. Her hastaya ait monosit kültür süpernatanı üç ayrı kuyuda çalışıldı. Hücreler 37°C de $\%7$ CO_2 bulunan ortamda 45 dakika inkübe edildi. Bu sürenin sonunda yapışmayan nötrofiller kuyulardan dikkatlice aspire edildi ve kuyular iki kez 37°C ye ısitsılmış medium ile endotel hücrelerinin plağın tabanından ayrılmamasına dikkat edilerek yıkandı. Kuyular mikroskopta tek tek incelenerek hücreler tabandan ayrılmış ise bu kuyular adezyon testinde değerlendirme dışı bırakıldı.

Yapışan nötrofil sayısı TAG-765 teki yöntemden farklı olarak nötrofil myeloperoksidaz (MPO) enzimi ölçülerek hesaplandı (Dobrina, 1991). Bunun için; 0.1 M sodyum asetat tampon (pH 4.2) içinde %1 oranında setiltrimetilamonyumbromid (MPO yu solubilize edici ajan) ve 0.2 mM tetrametilbenzidine (MPO nun substratu), eklennerek hazırlanan solusyondan kuyulara 75 μl ilave edildi. İki dakika sonra da her kuyuya 0.7mM H_2O_2 den 75 μl ve bundan 2 dakika sonra da 50 μl 4N asetik asit (10 mM NaN_3 içeren) ilave edilerek reaksiyon sonlandırıldı. Kuyuların 600 nm de otomatik ELIZA okuyucuda optik dansiteleri ölçüldü.

Kontrol amacı ile ortamda monosit kültür süpernatanı bulunmayan 5 ayrı kuyuya 50 μl nötrofil suspansiyonu eklendi ve inkübasyondan sonra sıvı kısmı atılarak hücrelerin tamamı kuyuda bırakıldı. Bu kuyuların optik dansite ortalaması total nötrofil MPO su olarak formülde yerine konuldu. Sadece endotel bulunan kuyuların optik dansite ortalaması ise "background" değeri olarak kullanıldı. Aşağıdaki formülle adezyon oranı hesaplandı.

Monosit kültür süpernatanı
bulunan kuyunun -Background
Optik dansitesi (ortalama)

Adezyon oranı= 100x

Total nötrofillerin
bulunduğu kuyu -Background
Optik dansitesi (ortalama)

FLOW SİTOMETRİK İNCELEME

Behçet'li 30 hasta ve sağlıklı 30 kişiden venöz kan toplandı. Alınan kanın 5 ml sine 0.1 ml %0.224 gr sodyum azid, ve %0.5 gr EDTA içeren solusyondan eklenip kan örnekleri hemen buzlu su içine alındı. Hasta ve kontrol kanlarının her birinin 0.1 ml sine 10 μ l anti-LECAM (Immuotech, Fransa) 10 μ l 25F9, 10 μ l G16/1, (25F9 ve G16/1 aktive monositleri boyayan monoklonal antikorlardır) 5 μ l anti-CD11a, 5 μ l anti-CD11b, 5 μ l anti-CD18, 5 μ l anti-CD14 monoklonal antikorları eklendi ve 30 dakika buzlu su içinde inkübe edildi. Bu sürenin sonunda örnekler % 0.1 BSA ve 7mM sodyum azid içeren ve 4°C ye soğutulmuş fosfat tampon (PBS, yıkama tamponu) ile iki kez yıkandı. Daha sonra örneklerin üstüne 5 μ l, 1/100 dilüe edilmiş florosein izotiyosiyanat (FITC) bağlı goat-anti-mouse antikor (Serotech) ilave edilerek 30 dakika daha buzlu su üstünde inkübe edildi. Bu sürenin sonunda hücreler yıkama tamponu ile iki kez yıkandı. Ortamdaki eritrositler lisis tamponu ile (Becton Dickinson) lize edildi ve hücreler %1 paraformaldehit içeren PBS içinde resuspande edildi. Hücreler FACSscan de flow sitometrik olarak lenfosit, monosit ve nötrofil 'gate' i alınarak ayrı ayrı incelendi. Her örnek için 7500 hücre analiz edildi. Background boyanma için sadece FITC bağlı goat-anti-mouse antikor kullanıldı.

LECAM MOLEKÜLÜNÜN STABİLİTESİNİN İNCELENMESİ.

LECAM molekülünün farklı işlem koşullarından nasıl etkilendiğini izlemek amacıyla ile yapıldı. Bu amaçla kan örneklerinin bir bölümü alındıktan sonra işlemin sonuna kadar sodyum azid ve soğuk inkübasyonla muamele edilirken, bir bölümü ise oda ısısında ve sodyum azid olmadan işlendi. Ayrıca tam kan ve nötrofil ayırma işlemleri uygulanarak, bu işlemlerin etkisi incelendi. Bunun için 30 Behçet'li hasta ve 30 sağlıklı kişiden venöz kan alındı. Alınan bu kanın 5 ml sine 0.1 ml EDTA ve sodyum azid içeren solusyon (yukarıda flow sitometrik analiz bölümünde tarif edildi) eklendi ve hemen buzlu su üstüne oturtuldu. Kanın 5 ml sine ise sodyum azid içermeyen EDTA solusyonundan 0.1 ml eklendi ve bunlar oda ısısında tutuldu. Bu kanların 0.1 ml sine 10 μ l anti-LECAM ilave edilerek yukarıda flow sitometri bölümünde anlatıldığı gibi yüzey boyaması yapılarak FACScan'de incelendi. Ayrıca sadece EDTA'lı solusyon eklenmiş kan örneklerinden yukarıda nötrofillerin ayrılması bölümünde anlatıldığı gibi nötrofiller ayrıldı. Hücreler 3×10^6 /ml olacak şekilde ayarlandı. Bu hücre suspansiyonunun 0.1 ml sine 10 μ l anti-LECAM antikoru eklenerek yukarıda flow sitometri bölümünde tarif edildiği gibi yüzey boyaması yapıldı ve FACScan'de incelendi.

ELIZA YÖNTEMİ İLE SOLUBLE LECAM DÜZEYİNİN ÖLÇÜMÜ.

Bu amaçla Behçet'li 15 hasta ve sağlıklı 15 kişiden venöz kan alındı. Alınan kanların 5 ml sine 0.1 ml yukarıda tarif edilen EDTA ve sodyum azid solusyonundan eklendi ve örnekler hemen buzlu su üstüne oturtuldu. Kanın kalan 5 ml sine ise sodyum azid içermeyen EDTA solusyonu eklendi ve örnekler plazma ayırma işlemi yapılmışcaya kadar oda ısısında tutuldu. Tüm örnekler 500 g de 15 dakika santrifüj edildi ve plazmaları ayrılarak porsiyonlandı ve kullanılmışcaya kadar -20°C de saklandı. Sodyum azid içeren örneklerin santrifüjleri ve plazma ayırma işlemleri sırasında ortamın 4°C olmasına dikkat edildi. Diğer örneklerden plazma ayrimı ise oda ısısında gerçekleştirildi.

Toplanan bu örneklerde ELIZA temeline dayanan soluble LECAM kiti (Bender Med System) kullanarak üretici firmamının tarif ettiği yöntemle soluble LECAM düzeyleri ölçüldü.

LECAM MOLEKÜLÜNÜN STABİLİTESİNİN İNCELENMESİ.

LECAM molekülünün farklı işlem koşullarından nasıl etkilenliğini izlemek amacıyla yapıldı. Bu amacıyla kan örneklerinin bir bölümü alındıktan sonra işlemin sonuna kadar sodyum azid ve soğuk inkübasyonla muamele edilirken, bir bölümü ise oda ısısında ve sodyum azid olmadan işlendi. Ayrıca tam kan ve nötrofil ayırma işlemleri uygulanarak, bu işlemlerin etkisi incelendi. Bunun için 30 Behçet'li hasta ve 30 sağlıklı kişiden venöz kan alındı. Alınan bu kanın 5 ml sine 0.1 ml EDTA ve sodyum azid içeren solusyon (yukarıda flow sitometrik analiz bölümünde tarif edildi) eklendi ve hemen buzlu su üstüne oturtuldu. Kanın 5 ml sine ise sodyum azid içermeyen EDTA solusyonundan 0.1 ml eklendi ve bunlar oda ısısında tutuldu. Bu kanların 0.1 ml sine 10 μ l anti-LECAM ilave edilerek yukarıda flow sitometri bölümünde anlatıldığı gibi yüzey boyaması yapılarak FACScan de incelendi. Ayrıca sadece EDTA li solusyon eklenmiş kan örneklerinden yukarıda nötrofillerin ayrılması bölümünde anlatıldığı gibi nötrofiller ayrıldı. Hücreler 3×10^6 /ml olacak şekilde ayarlandı. Bu hücre suspansiyonunun 0.1 ml sine 10 μ l anti-LECAM antikoru eklenerek yukarıda flow sitometri bölümünde tarif edildiği gibi yüzey boyaması yapıldı ve FACScan de incelendi.

ELIZA YÖNTEMİ İLE SOLUBLE LECAM DÜZEYİNİN ÖLÇÜMÜ.

Bu amacıyla Behçet'li 15 hasta ve sağlıklı 15 kişiden venöz kan alındı. Alınan kanların 5 ml sine 0.1 ml yukarıda tarif edilen EDTA ve sodyum azid solusyonundan eklendi ve örnekler hemen buzlu su üstüne oturtuldu. Kanın kalan 5 ml sine ise sodyum azid içermeyen EDTA solusyonu eklendi ve örnekler plazma ayırma işlemi yapılincaya kadar oda ısısında tutuldu. Tüm örnekler 500 g de 15 dakika santrifüj edildi ve plazmaları ayrılarak porsiyonlandı ve kullanılıncaya kadar -20°C de saklandı. Sodyum azid içeren örneklerin santrifüjleri ve plazma ayırma işlemleri sırasında ortamın 4°C olmasına dikkat edildi. Diğer örneklerden plazma ayrimı ise oda ısısında gerçekleştirildi.

Toplanan bu örneklerde ELIZA temeline dayanan soluble LECAM kiti (Bender Med System) kullanarak üretici firmanın tarif ettiği yöntemle soluble LECAM düzeyleri ölçüldü.

IL-8 İN LECAM MOLEKÜLÜNE ETKİSİNİN ARAŞTIRILMASI.

Bu amaçla Behçet'li 10 hasta ve sağlıklı 10 kişiden yukarıda anlatıldığı gibi EDTA+sodyum azid veya sadece EDTA eklenecek venöz kan alındı. Sodyum azid içeren kanla çalışırken tüm işlemlerin soğukta yapılmasına dikkat edildi. Nötrofiller yukarıda nötrofil izolasyonu bölümünde anlatıldığı gibi elde edildi. Nötrofiller 2×10^6 /ml hücre olacak şekilde RPMI mediumda resuspande edildi, 37°C de $\%7\text{CO}_2$ içeren ortamda bir saat inkübe edildi ve LECAM molekülü tayin etmek üzere içinden örnek alındı. Geride kalan hücre suspansiyonu üzerine 500 ng/ml konsantrasyonda olacak şekilde rekombinant IL-8 (Cymbus) eklenecek aynı koşullarda kültüre bir saat daha devam edildi. Kültür öncesi, bir saatlik kültür sonrası ve IL-8 ile bir saatlik kültür sonrası nötrofillerin yüzeyinde LECAM molekülü ekspresyonu yukarıda flow sitometri bölümünde tarif edildiği şekilde FACScan de incelendi. Bir saatlik kültür sonrası ve IL-8 ile bir saatlik kültür sonrası kültür süpernatanları da ilerde başka bir proje de solubl LECAM düzeyi ölçmek üzere toplandı ve porsiyonlanarak -50°C de saklandı.

ADEZYONUN ANTI-IL-8 İLE İNHİBİSYONU.

Bundan önceki çalışmamızda (TAG-765) Behçet'li hasta serumu varlığında nötrofillerin endotel hücresinde adezyonunun arttığı ve yine aynı hastalarda IL-8 düzeyinin yüksek olduğu saptandığı için adezyon testinde ortama anti-IL-8 eklenecek adezyonun inhibisyonu araştırıldı. Bu amaçla Behçet'li 15 hasta ve sağlıklı 10 kişinin serumları varlığında (TAG-765 te anlatıldığı şekilde) yukarıda tarif edilen adezyon testi yapılarak yüksek adezyona neden olan hasta serumları saptandı. Daha sonra adezyonu çok yüksek olan üç hastaya ait serumlarla ayrı ayrı, tekrar adezyon testi yapıldı. Ancak bu kez hasta serumu bulunuan her 10 kuyudan 5 ine anti-IL-8 eklenecek adezyon inhibisyonunun varlığı araştırıldı.

BEHÇET'Lİ HASTA SERUMLARINDA IL-8 DÜZEYİNİN ÖLÇÜLMESİ.

Behçet'li 30 hasta ve sağlıklı 30 kişiden yukarıda tarif edildiği şekilde toplanan serumlarda IL-8 düzeyi RIA yöntemi ile ve RIA kiti (Amersham) ile üretici firmmanın tarif ettiği yöntemle ölçüldü.

KÜLTÜR SÜPERNATANLARINDA IL-8 ÖLÇÜMÜ:

Proje önerimizde, kültür süpernatanlarındaki IL-8'ın satın alınacak standart ELİZA kitleri ile ölçüleceği bildirilmişti. Ancak örnek sayısının ortalama 800'e ulaşması nedeni ile 20 adet ELİZA kiti alınması gerekmekte idi. Bilinen enflasyon ve ekonomik tedbirler nedeni ile IL-8 75.000.000 TL'yi aşma ulaşmış, ELİZA kitinin birim fiyatı 35.000.000 TL'ye ulaşmış, toplam 20 kit için gereken bütçe ise 700.000.000 TL'ye ulaşmıştır. Proje bütçesinde ise IL-8 ELİZA kiti için toplam 75.000.000 TL'yi aşma ayrılmış bulunmaktadır. Bu nedenle IL-8 yönteminin laboratuvarımızda kurulmasına karar verildi.

A. ELİZA YÖNTEMİNİN KURULMA DENEYLERİ

Bu amaçla mouse-anti-IL-8 monoklonal antikor (mAb) (Cymbus, UK), rekombinantIL-8 (rIL-8) (Cymbus, UK), tavşan-anti-IL-8 poliklonal antikor (poAb) (ENDOGEN USA), goat-anti-mouse horse raddish peroksidaz bağlı antikor (HRPO) (Boehringer GERMANY) ve 96 kuyulu düz tabanlı 'maxi' sorb ELİZA plakları (nunc) satın alındı.

IL-8'i ölçebilecek ELİZA sisteminin kurulması amacı ile sağlanan bu mälzemeler ile değişik yöntemler denendi. Denenen bu yöntemler aşağıda özetlenmiştir.

a) Criss-Cross yöntemi ile optimal konsantrasyonlarının saptanması: Bunun için 4 ayrı plak alındı. Poliklonal anti-IL-8 (poAb) PBS içinde dilüe edildi ve her kuyuya 50 µl asağidakı konsantrasyonlarda ilave edildi. Plaklar bir gece 4°C de inkübe edildi.

1. plak 10 µg/ml poAb
2. plak 5 µg/ml poAb
3. plak 2.5 µg/ml poAb
4. plak 1.25 µg/ml poAb

Ertesi gün plaklar ters çevrilip içleri boşaltıldı ve 0.2 ml 'Blocking tampon' (%0.05 Tween-20, 1mM EDTA, %2.5 Bovine serum albumin (BSA) içeren PBS) ilave edilerek oda sıcaklığında

30 dakika inkübe edildi ve plağın antikorla kaplanmayan bölgeleri bloke edildi. Bu sürenin sonunda kuyular tekrar boşaltıldı ve iki kez 0.2 ml PBS ile yıkandı.

Bloking tampon içinde rIL-8 250 ng/ml olacak şekilde dilüe edildi ve her dört plaga aşağıdaki düzende 50 µl olarak ilave edildi.

(Yukarıdan aşağıya)

1. kolon (A1,B1,C1,D1,E1,F1) 250 ng/ml
2. kolon (A2,B2,C2,D2,E2,F2) 62.5 ng/ml
3. kolon (A3,B3,C3,D3,E3,F3) 15.6 ng/ml
4. kolon (A4,B4,C4,D4,E4,F4) 3.9 ng/ml
5. kolon (A5,B5,C5,D5,E5,F5) 0.975 ng/ml
6. kolon (A6,B6,C6,D6,E6,F6) 0.24 ng/ml
7. kolon (A7,B7,C7,D7,E7,F7) 0.06 ng/ml
8. kolon (A8,B8,C8,D8,E8,F8) 0.015 ng/ml

İki saat oda ısısında inkübasyondan sonra kuyular boşaltıldı ve iki kez 0.2 ml PBS ile yıkandı.

Bloking tampon içinde monoklonal anti-IL-8 (mAb) 1 µg/ml olacak şekilde dilüe edildi ve 50 µl olarak aşağıdaki düzende her plaga ayrı ayrı ilave edildi.

(Soldan sağa)

1. sıra (A1-A8) 1 µg/ml
2. sıra (B1-B8) 0.5 µg/ml
3. sıra (C1-C8) 0.25 µg/ml
4. sıra (D1-D8) 0.125 µg/ml
5. sıra (E1-E8) 0.0625 µg/ml

İki saat oda ısısında inkübasyondan sonra kuyular boşaltıldı ve iki kez 0.2 ml PBS ile yıkandı.

Bloking tampon içinde HRPO 250 ng/ml olacak şekilde dilüe edildi ve 50 µl olarak her dört plaktaki kuyuların tamamına ilave edildi. İki saat oda ısısında inkübasyondan sonra kuyular boşaltıldı ve PBS ile altı kez yıkandı. Daha sonra kuyulara 100 ml içinde 34 mg ortofenilendiamin (OPD) ve 50 µl H₂O₂ (%30 luk) içeren 0.1 M sitrat tampondan (0.1M sitrik H₂SO₄, PH 5) 75 µl ml ilave edildi ve bir asit ve 0.1M Na₂HPO₄, PH 5 75 µl ml ilave edildi ve bir saat oda ısısında inkübe edildi. İnkübasyondan sonra 50 µl %12.5 luk H₂SO₄ ilave edildi ve 492 nm de otomatik ELIZA okuyucuda optik dansiteleri ölçüldü.

Bu çalışma birkaç kez tekrarlandı ve kuyular arasında anlamlı bir fark saptanamadığı için metodun çalışmadiğine karar verildi ve aşağıdaki alternatifler denendi.

b) HRPO nun titre edilmesi : Yukarıdaki yöntem sadece tek bir plakta ancak plaklar 10 μ g/ml poAb ile kaplanarak yapıldı. mAb 1 μ g/ml olarak A ve D sırasında, 0.5 μ g/ml olarak B ve E sırasında ve 0.25 μ g/ml olarak C ve F sırasında kullanıldı.

Laboratuvardaki HRPO nun eskimiş olabileceği düşünülerek yeni HRPO satın alındı ve bu HRPO A,B,C sıralarında 250 ng/ml ve D,E,F sıralarında 500 ng/ml olarak kullanıldı. Böylece HRPO titre edilmiş oldu. Ancak bu deney sonunda da anlamlı bir okuma elde edilemedi.

c)HRPO miktarının artırılması: Bu çalışma da bir plakta yapıldı. Plagin A,B,C,D,E,F,G,H, sıralarının 1 den 5 e kadar olan kolonları 10 μ g/ml ve 7 den 11 e kadar olan kolonları 5 μ g/ml olarak poAb ile kaplandı. mAb ise A,C,E,G sıralarına 1 μ g/ml ve B,D,F,H sıralarına 0.5 μ g/ml olarak ilave edildi. HRPO ise A,B,C,D, sıralarında 500 ng/ml ve E,F,G,H sıralarında 250 ng/ml olarak kullanıldı. Yine anlamlı bir okuma elde edilemedi.

d)Değişik tamponların denenmesi: Yukarıdaki çalışmalarındaki rIL-8, poAb, mAb ve HRPO miktar ve şemalarına sadık kalınarak ve sadece tampon çözeltiler değiştirilerek deneyler tekrarlandı. Bu çalışmada poAb nin kaplama tampon çözeltisi (Coating tampon) olarak 0.2M Na₂CO₃ ve 0.2M NaHCO₃ PH 9.6 kullanıldı. Bloking tampon olarak kaplama tamponu içine %0.2 oranında BSA eklendi.Yıkama tamponu olarak ise %0.05 Tween 20 içeren TBS tampon (6 gr tris,8.75 gr NaCl ve bir litre distile su PH 7.5) kullanıldı. rIL-8 ve HRPO, yine TBS/Tween tamponda dilüe edildi ancak TBS/Tween tampona %0.1 BSA ilave edildikten sonra mAB bunun içinde dilüe edildi. İnkübasyon süreleri ise 90 dakika olarak değiştirildi ve inkübasyonlar 37°C de yapıldı. Bu deney sonunda da başarılı olunamadı.

e)Monoklonal antikor miktarının artırılması: Bu çalışmada d şikkindaki kaplama tamponu aynen kullanıldı ancak dilüsyon tamponu ve yıkama tamponu olarak TBS yerine PBS kullanıldı (Tween 20 ve BSA aynen kaldı). Çalışma 37°C de 30 ar dakika

inkübasyonlar şeklinde yapıldı. Burada farklı olarak rIL-8 100 ng/ml olarak tüm kuyularda aynı miktarda kullanıldı. poAb ise 10 ng/ml konsantrasyonda başlanıp plakta tüm sıralarda (A,B,C,D,E,F,G,H) 1. kuyudan başlayarak 12. kuyuya doğru seri dilüsyonla dağıtıldı. mAb ise 5 µg/ml olarak hazırlandı ve A dan başlayarak H ye kadar seri dilüsyonla dağıtıldı. Vine başarılı sonuç alınamadı.

Klasik ELIZA yönteminin tüm alternatifleri denenip, antikorlar ve IL-8 titre edildi, değişik tamponlarla başarılı sonuç alınamaması üzerine, daha temel bir uygunsuzluk olduğu (örneğin antikorun IL-8 ile bağlanmaması veya plakların antikorla kaplanamaması gibi) düşünülerek aşağıdaki deneyler yapıldı:

f) Bu çalışmada plaklar sadece mAb ile kaplanarak üzerine HRPO işaretli goat-anti-mouse ilave edildi ve mAb nin plağa yapışıp yapışmadığı test edildi. Antikorun plağa yapışabildiği ve HRPO işaretli goat-anti-mouse ile bağlandığı, substrat eklenmesi ile renk oluşumu nedeni ile saptandı.

g) Bu çalışmada plaklar mAb ile kaplanıp üstüne rIL-8 ve üstüne poAb ilave edildikten sonra en üstte anti-tavşan peroksidaz işaretli antikor ilave edilerek çalışma tekrarlandı. Bu deneyin işlediği görüldü. Böylece satın alınan monoklonal antikorun IL-8 e bağlanmadığı sonucuna varıldı. Yeni mAb ve rIL-8 almak için bütçe ve zaman kısıtlılığı nedeni ile ELIZA yöntemlerinin kullanılmasından vazgeçildi.

B. NÖTROFİL YÜZEVİNDEKİ IL-8 RESEPTÖRÜ ARACILIĞI İLE IL-8 ÖLÇÜMÜ DENEYLERİ:

Nötrofil yüzeyindeki IL-8 reseptöründen yararlanarak IL-8 tayini yapılabiliirligi araştırıldı. Kısaca nötrofiller önce rIL-8 ile inkübe edildi, daha sonra yıkandı ve üzerine mAb (anti-IL-8) ilave edildi. Tekrar inkübe edilip yıkandıktan sonra son olarak anti-mouse FITC ilave edilerek FACSın de incelendi. Bir başka çalışmada ise mAb yerine poAB kullanıldı. Ancak tavşan antikorunun insan nötrofil yüzeyindeki Fc reseptörlerine non-spesifik olarak bağlandığını bildiğimiz için (daha önceki bir çalışmamızda

saptamıştık) nötrofiller, önce birkaç kez dondurup çözerek agrege ettiğimiz insan IgG si ile 30 dakika inkübe edildi ve nötrofil yüzeyindeki Fc reseptörlerinin kapatılması sağlandı ve çalışma bu nötrofillerle yapıldı. rIL-8 dışında PMA ile aktive edilmiş monosit kültür süpernatanı ve yüksek adezyona neden olan Behçet'li hasta serumları da IL-8 kaynağı olarak denendi.

Sonuçta tüm bu çalışmalar ile IL-8'in ölçümü için kullanılabilcek bir metod kurulmadığı için bu ölçümden şimdilik vazgeçildi. Ancak toplanan kültür süpernatanları (yaklaşık 800 adet örnek) -40°C de deepfreeze de saklanmaktadır ve önumüzdeki günlerde yeni antikorlar veya yine başarılılamazsa standart IL-8 kitleri alınarak ölçülmesine çalışılacaktır.

l

İSTATİSTİK DEĞERLENDİRME

Sonuçlar Student'in t-testi ile değerlendirildi. Sonuçlar ortalama \pm SD olarak verildi.

BULGULAR

FLOW SİTOMETRİK İNCELEME

Nötrofil yüzeyinde adezyon moleküllerinin incelenmesi:

Behçet'li hastaların nötrofillerinin yüzeyinde adezyon moleküllerini saptamak amacıyla yapılan bu çalışma nötrofil izolasyonu yapılmadan EDTA ve sodyum azid içeren tam kan da yapıldı. Nötrofil yüzeyinde CD11b ve CD18 taşıyan hücre sayıları bakımından, hasta ve kontrol arasında fark görülmezken, CD11a molekülünü taşıyan hücre sayısının hastalarda daha fazla olduğu görüldü (Tablo-1). CD11a, hastada % 89.4±10.6, sağlıklı kişilerde % 71±8.9 olarak hesaplandı ve aralarında anlamlı fark olduğu bulundu ($p<0.001$).

Lenfosit yüzeyinde adezyon moleküllerinin incelenmesi:

Bu çalışmada da yine EDTA ve sodyum azid ilave edilmiş tüm kan kullanıldı. Hasta ve sağlıklı kişiler arasında CD11a, CD11b, CD18 ve LECAM moleküllerini taşıyan hücre sayıları bakımından fark görülmedi (Tablo-2).

Monosit yüzeyinde adezyon moleküllerinin incelenmesi:

Monosit yüzeyindeki adezyon moleküllerini saptamak amacıyla yapıldı. Bu çalışmada da EDTA ve sodyum azid ilave edilmiş tüm kan kullanıldı. CD11a, CD18 ve LECAM molekülü taşıyan hücre sayısı bakımından Behçet'li hasta ve sağlıklı kontroller arasında fark görülmedi. Ancak Tablo-3'te de görüldüğü gibi CD11b molekülü taşıyan hücre sayısının hastalarda % 94.2±6, sağlıklı kişilerde % 87.6±10.3 olduğu ve aralarında anlamlı fark ($p<0.005$) bulunduğu saptandı.

Monosit yüzeyinde aktivasyon moleküllerinin incelenmesi:

Bu çalışma Behçet'li hastalarda monositlerin aktive olup olmadığını araştırmak amacıyla yapıldı. Aktivasyonu belirlemek amacıyla sadece aktive olmuş monosit yüzeyinde bulunan Z5F9 ve G16/1 moleküllerine ve monosit ile granülosit yüzeyinde bulunan ve özellikle monositler aktive olduklarıında artan CD14 molekülüne karşı mAb

kullanıldı. Tablo-4 te de görüldüğü gibi bu üç aktivasyon molekülünü taşıyan monosit sayısının hastalarda daha yüksek olduğu saptandı. 25F9 molekülü, hastada $\%48.1 \pm 32.4$, kontrolde $\% 16.4 \pm 15$ ($p < 0.005$), G16/i molekülü hastada $\%15 \pm 16.2$, kontrolde $\% 1.4 \pm 1.4$ ($p < 0.005$) ve CD14 molekülü ise hastada $\% 94.9 \pm$, kontroilde $\% 87.3 \pm 7.8$ ($p < 0.005$) olarak saptandı.

Nötrofil yüzeyinde LECAM molekülünün incelemesi:

LECAM molekülünün aktive olmuş nötrofil yüzeyinden kolayca kopup ortama dökülen bir molükül olması nedeni ile, Behçet'li hastaların nötrofillerde bu molekülün stabilitesini araştırmak amacıyla ile bu çalışma yapıldı. Bu amaçla ; hasta ve kontrollerden, EDTA+sodyum azid li ve ayrıca sadece EDTA li kan alındı. Sodyum azidli kan ve sadece EDTA olan kanın yarısında nötrofil izolasyonu yapılmadan LECAM molekülü incelendi ve sadece EDTA li kanın kalan yarısında da nötrofil izolasyonu yapılarak bu nötrofillerde LECAM molekülü araştırıldı.

Hücre yüzeyi sodyum azid ile stabil hale getirilmiş ve soğuk ortamda çalışılmış nötrofillerde hasta ile sağlıklı kişi arasında LECAM molekülü ekspresyonu bakımından fark görülmeli. Ancak sodyum azid ilave edilmeden oda sıcaklığında tüm kandan yapılan incelemede LECAM molekülünün hastalarda anlamlı bir şekilde azlığı görüldü (Tablo-5). Sodyum azid ilave edilmeden ve nötrofillerin ficol ile ayrılmamasından sonra yapılan incelemede de yine hasta ile sağlıklı kişi arasında ileri derecede anlamlı fark olduğu görüldü (Tablo-5).

ELİZA YÖNTEMİ İLE İNCELEME

Solubl LECAM düzeyinin ölçülmesi:

Behçet'li hasta nötrofillerinin yüzeyinde LECAM molekülünün stabilitesinin bozulduğu ve hücre yüzeyinden kolayca döküldüğü yukarıda anlatılan deneyde görüldüğü için, bu molekülün hasta serumundaki konsantrasyonunun araştırılması amacıyla yapıldı. Hasta ve sağlıklı kişilerin plazmaları EDTA+sodyum azid ve sadece EDTA ilave edilerek iki farklı koşulda kandan ayrıldı. Sodyum azid ilave edilmiş ve soğukta ayrılmış plazmaların solubl LECAM düzeyleri, hastalarda kontrollere göre istatistiksel olarak

anlamlı bir şekilde düşük bulundu (Tablo-6). Oda ısısında ve sodyum azidsiz ayrılan plazmada yapılan ölçümlerde solubl LECAM, hastada 1.82 ± 0.5 $\mu\text{g}/\text{ml}$ iken kontrollerde 2 ± 0.5 $\mu\text{g}/\text{ml}$ olarak bulundu ($p > 0.5$). Bunun yanında sodyum azid eklenen ve soğukta işlenen örneklerde hasta ile kontroller arasında önemli bir fark olduğu bulundu (kontrolde 1.98 ± 0.6 $\mu\text{g}/\text{ml}$ ve hastada 1.58 ± 0.4 $\mu\text{g}/\text{ml}$ $p < 0.05$). Sağlıklı kontrollerin EDTA+sodyum azid ve sadece EDTA li plazmaları arasında fark görülmekten, hastaların EDTA+sodyum azid ve sadece EDTA li plazmaları arasında da fark görüldü. Sodyum azid ilave edilmemiş hasta plazmalarında solubl LECAM düzeyinin yükseldiği saptandı (Sodyum azidli plazmada 1.58 ± 0.4 $\mu\text{g}/\text{ml}$ ve sodyum azidsiz plazmada 1.82 ± 0.5 $\mu\text{g}/\text{ml}$ $p < 0.1$, Tablo-6).

Solubl CD14 (sCD14) düzeylerinin ölçülmesi:

Behçet'li hasta monositlerinin yüzeyinde CD14 molekülünü artmış olduğu saptandığı için hasta serumlarında bu molekülün solubl formunun araştırılması amacı ile yapıldı. Hasta serumlarında solubl CD14 düzeyinin sağlıklı kişilere göre istatistiksel olarak anlamlı bir şekilde arttığı görüldü. Tablo-7 de görüldüğü gibi sCD14 hastalarda 8.1 ± 9.2 $\mu\text{g}/\text{ml}$, kontrolde 1.39 ± 0.73 $\mu\text{g}/\text{ml}$ ($p < 0.001$) olarak bulundu.

RIA (RADIOIMMUNASSAY) YÖNTEMİ İLE SERUM IL-8 DÜZEYİNİN İNCELENMESİ

Tag-765 nolu projemizde Behçet'li hastalarda IL-8 düzeylerini yüksek bulmuştuk. Bu çalışmada yeni hastalarda aynı kanörneğinde IL-8, sCD14 ve hücrelerin yüzeyinde adezyon molekülleri incelenip her hastanın tüm bu parametrelerini birbiri ile karşılaştırılmak amacıyla kanörneklerinde IL-8 düzeyleri tekrar ölçüldü. Tablo-8 de de görüldüğü gibi hasta serumlarında IL-8 düzeyi sağlıklı kişilere göre artmış olarak saptandı (Hastada 232.7 ± 79.1 pg/ml, kontrolde 97.5 ± 56.3 pg/ml $p < 0.001$). Bu artışı istatistiksel olarak da anlamlı olduğu görüldü.

ADEZYON TESTLERİ

Behçet'li hasta serumlarının nötrofil-endotel adezyonuna etkisi:

Behçet'li hastaların serumlarının nötrofil-endotel adezyonunu artıcı etkisi daha öceki çalışmamızda saptanmıştır (TAG-765). Bu çalışma, yüksek adezyona neden olan hasta serumlarını saptayıp, daha sonra bu serumları adezyon inhibisyon deneyinde kullanabilmek amacıyla ile yapıldı. Tablo-9 da da görüldüğü gibi hasta serumları yüksek adezyona neden olmaktadır. Bunlardan 72,79 ve 65 nolu hastaların serumlarının çok yüksek adezyona neden olduğu görüldü ve adezyon inhibisyon testinde kulanılmak üzere seçildi.

Anti-IL-8 ile nötrofil-endotel adezyonunun inhibisyonu:

Behçet'li hastalarda artmış olan nötrofil-endotel adezyonunun, hasta serumunda yüksek olan IL-8 den kaynaklanabileceğini düşünerek, hasta serumları varlığında yapılan adezyon testinde, ortama anti-IL-8 monoklonal antikör ilave edilerek, adezyonun inhibisyonunun varlığı araştırıldı. Tablo-10 da da görüldüğü gibi anti-IL-8 varlığında istatistiksel olarak anlamlı adezyon inhibisyonu saptanmadı.

Monosit kültür süpernatanlarının nötrofil-endotel adezyonuna etkisi:

Hasta ve sağlıklı kişilerin monositlerinin, uyarıcı (PMA ve LPS) veya uyaransız yapılan kültür süpernatanları 48. saatte toplanarak adezyon testinde kullanıldı. Sağlıklı iki kişiden alınan nötrofiller ayrılarak karıştırıldı ve bir nötrofil havuzu oluşturuldu. Bu nötrofillerle monosit kültür süpernatanları varlığında adezyon testi yapıldı. Tablo-11 de de görüldüğü gibi uyarılmamış monosit kültür süpernatanları varlığında hasta ile sağlıklı kişiler arasında fark bulundu. Hasta monosit kültür süpernatanı varlığında adezyon oranı %53.4±17.9, kontrol monosit kültür süpernatanı varlığında ise % 38.4±9.7 olarak bulundu. Bu artışın istatistiksel olarak ta anlamlı olduğu saptandı ($p<0.05$). PMA ile uyarılmış kültür süpernatanları ile hastalarda artış görülmeye rağmen bu artış istatistiksel olarak anlamlı bulunmadı (Hastada %55.6±19.8, kontrolde %40.4±13.5), LPS ile uyarılmış kültür süpernatanlarının varlığında ise

adezyon oranında önemli bir artış görülmeli.

IL-8 in LECAM molekülü üzerine etkisi:

Behçet'li hastanın nötrofilleri yüzeyinde LECAM molekülünün kolayca döküldüğü saptandı. Bu dökülmeye IL-8 in önemli görevi olduğu bilindiğinden, hasta ve normal kişilerin nötrofilleri üzerine IL-8 eklenerek kültürleri yapıldı ve hücre yüzeyindeki LECAM ekspresyonu flow sitometrik olarak incelendi. Tablo-12 ve 13 te görüldüğü gibi IL-8 in LECAM molekülünün ekspresyonunu artırıcı veya azaltıcı etkisinin hasta ve kontroller arasında farklı olmadığı saptandı.

PROJEDE ÖNERİLDİĞİ HALDE GERÇEKLEŞTİRİLEMEYEN ÇALIŞMALAR

l

Proje önerisinin protokolünde, Behçet'li hastaların ameliyat materyalinden damar endoteli elde edilerek, bunun kültürü yapılip, kültür süpernatanslarında IL-8 ölçümü yapılacağı taahhüt edilmişti. Ancak hastanemizde ve materyal temini için iletişim kurulan, Koşuyolu Kalp ve Damar Cerrahisi Merkezi ile Cerrahpaşa Tıp Fakültesi Hastanesinde bu zaman içerisinde Behçet'li hasta ameliyat edilmeyip materyal bulunamadığından damar endoteli kültürü yapılamadı. Projedeki bir başka öneri ise: Behçet'li hastaların kemik iliği kültürlerinin yapılip, bu kültür süpernatanslarında IL-8 düzeyinin ölçümü idi. ancak Behçet'li hastalardan bu materyalin elde edilişinin etik olmayacağı (çünkü kemik iliği alımı için endikasyonu olan Behçet'li hasta bulunamadı dolayısıyle endikasyonu olmadan kemik iliği alınması gerekecekti) düşünülebilirdi. Gerçekten Hastanemiz Etik kurulu başkanı Prof.Dr.Nefise Barlas Ulusoy ile bu konu tartışıldı ve bu işlemin etik olmadığı kararına varıldı. Bu nedenle önerinin bu bölümü de yapılamadı.

TARTIŞMA

Behçet hastalığı histolojik olarak, nötrofil infiltrasyonu ile karakterize kronik enflamatuar bir hastaliktır. Kronik bir hastalık olmasına rağmen akut enflamasyonun karakterini taşımaktadır. Çünkü bu hastaların lezyonlarında yoğun bir nötrofil infiltrasyonu vardır ve bu görünüm akut enflamasyonun tipik özellikleidir.

Bu hastalıkta nötrofiller pekçok yönden bozulmuştur. kemotaksisleri ve yüzeylerinde adezyon molekülleri artmıştır. Bu hastaların serumlarında nötrofil kemotaksiinin artışına neden olabilecek IL-8 düzeyi de artmıştır (Özgün, 1993). Behçet'li hastalarda nötrofillerin adezyonunda tetiği çeken etken bilinmemektedir.

Enflamasyon olgusunun tipik belirtisi olan PMN-endotel adezyonunda nötrofil yüzeyindeki LECAM molekülü önemli bir role sahiptir. Bu molekül adezyonun ilk aşamasında nötrofillerin endotel üzerinde yuvarlanması sağlar. Daha sonra gerçek adezyon başladığında ve nötrofiller aktive olarak yüzeylerindeki adezyon moleküllerinin artışından sonra LECAM molekülü nötrofil yüzeyinden dökülür ve solubl formu şeklinde ortamda bulunur.

Solubl LECAM (α LECAM) molekülünün en önemli görevi adezyonu inhibe etmek, yani enflamasyonun "negatif feedback" mekanizmasını işletmektir. Ancak bu molekülün adezyonu hangi mekanizma ile inhibe ettiği bilinmemektedir. α LECAM molekülünün endotel üzerinde, PMN yüzeyindeki $\beta 2$ integrinlerin bağlandıkları ligandlara bağlanarak adezyonu inhibe ettiği düşünülmektedir (Rot, 1992).

Biz daha önceki çalışmamızda Behçet'li hastaların nötrofillerinin yüzeyinde adezyon moleküllerinin artmış olduğunu saptadık (Özgün, 1993) ve bu durum bu çalışmada da doğrulandı (Tablo-1).

Yine bu çalışmada LECAM molekülünün nötrofil yüzeyinden kolayca döküldüğü görüldü (Tablo-5). Hücre yüzeyini stabil hale getiren sodyum azid ilave edilerek LECAM molekülü ekspresyonu araştırıldığında, hücre yüzeyi stabil iken Behçet'li hasta nötrofillerinin LECAM ekspresyonu normal bulundu. Ancak bu işlem yapılmadan ölçüm yapılrsa LECAM

molekülinin sağlıklı kişilere göre azalmış olduğu görüldü (Tablo-5).

Daha önce başka araştırmacılar da hücre yüzeyi stabil hale getirilmeden yapılan çalışmada bu molekülü Behçet'li hastalarda düşük bulunduklarını rapor etmişlerdir (Inaba, 1993). PMN lerin yüzeyinden LECAM molekülünün kolayca dökülmesi onların aktive olduğunu göstermektedir. Zaten Behçet'li hasta nötrofillerinin aktive nötrofiller oldukları daha önce yapılan pek çok çalışmada gösterilmiştir.

Bu çalışmada ayrıca hasta plazmalarında solubl LECAM düzeyleri ölçüldü. Ancak Behçet'li hasta nötrofillerinin *in vitro* koşullarda yüzeylerinden LECAM moleküllerini kolayca döktükleri daha önce saptanmış olduğundan, plazma ayırma işlemi sırasında ortama sodyum azid ilave edip örnekler derhal buzlu su içine alınarak soğutuldu. Kontrol olması ve arada fark olup olmadığıın incelenmesi amacı ile de örneklerin bir kısmına sodyum azid ilave edilmedi ve plazma oda ısısında elde edildi.

LECAM molekülünün Behçet'li hasta nötrofillerinden kolayca dökülmesi nedeniyle, hasta serumunda sLECAM düzeyinin de yüksek olabileceğini düşünerek yaptığımız bu çalışmamızda beklenenin aksine sodyum azid ilave ettiğimiz örneklerde plazma sLECAM düzeyi sağlıklı kişilere göre daha düşük bulundu (Tablo-6).

Sodyum azid ilave edilmeden ve oda ısısında toplanan örneklerde ise ,plazma ayırma işlemi sırasında PMN yüzeyinden ortama LECAM molekülü dökülmesine rağmen hastaların sLECAM düzeyleri sağlıklı kişilerin sLECAM düzeyine ulaşamadı (Tablo-6). Oysa Behçet'li hasta nötrofillerinin aktive nötrofiller olduğu ve yüzeylerinden LECAM molekülünü ortama döktükleri gösterilmiştir. Bu nedenle normal koşullarda, bizim bu dökülen molekülü serumda bulabilmemiz gerekmekte idi.

Bu bulgu göstermektedir ki, Behçet'li hastalarda sLECAM molekülü bir şekilde ortamdan kaybolmaktadır. Değişik enfiamatuvar hastalıklarda (sepsis, AIDS te) serum sLECAM düzeyi yüksek bulunmuştur, ve normalde beklenen de budur. Ancak S.C.Donelly yaptığı bir çalışmada "Adult Respiratory Distress" Sendromlu (ARDS) hastalarda sLECAM düzeyini düşük bulmuştur ve düşük solubl LECAM düzeyi ile hastanın

mortalitesi arasında korelasyon olduğunu göstermiştir.

Bu araştırmacı, sLECAM'in endotel üzerindeki ligandına bağlanarak ortamdan uzaklaştığını ve dolaşan molekülün bu nedenle düşük bulunduğu savunmaktadır (Donelly, 1994). Eğer sLECAM endotel yüzeyine bağlanmış olsaydı PMN-endotel adezyonu inhibe olur ve enfiamasyon dururdu. Oysa Behçet'li hastalarda enfiamasyon devam etmektedir ve lezyonlarda yoğun PMN infiltrasyonu vardır. Bu nedenle sLECAM'in başka bir şekilde tüketildiği düşünülebilir. Bir olasılık olarak, serumda sLECAM'i parçalayan bir proteazın var olabileceği düşünülebilir. Belkide Behçet'li hastalarda enfiamasyonu sürekli aktive eden mekanizmalar dışında, enfiamasyonun inhibisyonunu sağlayan mekanizmalarda bozukluk bulunmaktadır ve süreğen enfiamasyonun nedeni bu olabilir. Tüm bu varsayımlara rağmen sLECAM'in düşük bulunmasının nedeni bilinmemektedir ve bunu açıklamak için bu konuda daha ileri araştırmalara gereksinim vardır.

Bu çalışmada Behçet'li hastaların monositlerinin de aktive oldukları saptandı. Aktive olmuş monosit yüzeyindeki iki ayrı molekülü tanıyan Z5F9 ve G16/1 adındaki iki antikorla yapılan çalışmada bu moleküllerin sağlıklı kişilerden daha yüksek olduğu görüldü (Tablo-4).

Normalde monosit yüzeyinde bulunan ve monositler aktive olduklarıında hücre yüzeyinde miktarı artan CD14 molekülü de Behçet'li hastalarda yüksek bulundu (Tablo-4). Aktive monosit yüzeyinden dökülen ve enfiamasyon belirteci olan solubl CD14 (sCD14) molekülü de bu hastaların serumunda yüksek bulundu (Tablo-7). Ancak solubl CD14 ile serumda yüksek bulunan IL-8 arasında bir korelasyon görülmemiştir. Bazı hastalarda IL-8 i yüksek bulunurken sCD14 normal bulundu veya sCD14 yüksek bulunurken IL-8 düzeylerinin normal olduğu gözlandı.

Bu bulgular Behçet'li hastalarda birden fazla hücre populasyonunun hastalık etkeni olabileceğini ve bunlardan sadece bir tanesinin bile aktivasyonunun hastalığın semptomlarını oluşturabileceğini düşündürmektedir.

Ayrıca serumda yüksek IL-8 düzeyini oluşturan hücrenin monosit dışında başka bir hücre olduğu da düşünülebilir. Çünkü monositler aktive olduklarıda IL-8 üretmektedirler. Ancak bir hastada aynı gün alınan serum örneklerinde IL-8

yükselt bulunurken monosit aktivasyonunu gösteren sCD14 düşük bulunabilmektedir.

Monosit kültürleri yapılarak kültür süpernatanlarının PMN-endotel adezyonuna etkisi araştırıldığından Behçet'li hasta monosit kültür süpernatanlarının adezyonu artıldığı görüldü (Tablo-11). Bu bulgu da, Behçet'li hastanın monositlerinin *in vivo* olarak aktive olduğunu ve adezyonu artırıcı sitokin salgıladıklarını göstermektedir.

Hasta ve kontrol monositleri PMA ve LPS ile uyarıldıktan sonra elde edilen süpernatanın adezyonu artırıcı etkisi, hasta monosit kültür süpernatanlarından daha yüksek olmasına rağmen bu fark istatistiksel olarak anlamlı bulunmadı. Sonuç olarak bu bulgu da, diğer bulgularımıza ek olarak, hasta monositlerinin aktive monositler olduğunu göstermektedir.

Behçet'li hasta lenfositlerinin adezyon molekülleri incelendiğinde ise CD11a, CD11b, CD18 ve LECAM moleküllü ekspresyonu bakımdan sağlıklı kişilerle fark görülmedi (Tablo-2). Behçet'li hasta lenfositlerinin aktive oldukları ve bu hastalıkta esas rol oynayan hücrenin lenfositler olduğunu savunan araştırcılar olmasına rağmen bizim çalışmamızda adezyon molekülleri bakımdan sağlıklı kişilerden farklı bulgular elde edilmemiştir. Bu nedenle Behçet'li hastalarda diğer lenfosit aktivasyon belirtilerinin incelenmesi yararlı olacaktır.

LECAM molekülünün IL-8 ile ilişkili olduğu ve LECAM in hücre yüzeyinden dökülmesinde IL-8 in önemli etkisi olabileceği bazı araştırcılar tarafından bildirilmiştir (Rot, 1992). Bu çalışmamızda saptadığımız "unstable" LECAM moleküllü varlığı ve serumda yüksek IL-8 düzeyi, Behçet hastalığında da bu iki molekülün ilişkisi olabileceğini düşündürmektedir. Bu amaçla yapılan çalışmada rekombinant IL-8 in hasta nötrofilleri üzerinde herhangi bir etkisinin olmadığı görülmüştür (Tablo-12 ve 13).

Ancak bu çalışmanın *in vitro* koşullarda yapıldığı ve *in vivo* koşullarda bilinmeyen bazı maddelerin IL-8 in bu yönde etkisini değiştirebileceği hatırlanmalıdır.

Bütün bu bulgular Behçet hastalığında enfiamasyonun başlaması ve inhibisyonu mekanizmalarında bozukluk olduğunu göstermektedir. Ancak bu konuların tam aydınlatılabilmesi için daha detaylı çalışmaların yapılması gerekmektedir.

KAYNAKLAR

Brandt E., Petersen F., and Flad H.D. Recombination tumor necrosis factor-Alfa potentiates neutrophil degranulation in response to host defense cytokines neutrophil-activating peptide 2 and IL-8 by modulating intracellular cyclic AMP levels. *J. Immunol.* 149:1356-1364 (1992)

Dobrina A., Menegazzi R., Carlos T. M., Nardon E., Cramer R., Sacchi T., Harlan M. and Patriarca P. Mechanisms of eosinophil adherence to cultured vascular endothelial cells. *J. Clin. Invest.* 88, 20-26 (1991)

Donnelly C.S., Haslett C., Dransfield I., Robertson E.C., Carter B.C., Ross J.A., Grant I.S., Tedder T.F. Role of selectins in development of adult respiratory distress syndrome. *Lancet.* 344, 215-219 (1994)

Denman A.M., Pelton B.K., Hylton W., Malkowsky M. and Dinning W.D. Herpes Simplex virus infection and Behçet's syndrome. *Behçet's Disease*. Marcel Dekker, Inc. New York. Sayfa: 415-420 (1991)

Gamble J.R. and Vadas M.A. Endothelial cell adhesiveness for human T lymphocytes is inhibited by transforming growth factor- β . *J. Immunol.* 146:1149-1154 (1991)

Gimbrone M.A., Obin M.S., Brock A.F., Luis E.A., Hass P.E., Hebert C.A., Yip Y.K., Leung D.W., Lowe D.G., Kohr W.J., Darbonne W.C., Bechthold K.B., Baker J.B. Endothelial interleukin-8: A novel inhibitor of leukocyte-endothelial interactions. *Science* 246:1601-1603 (1989)

Hogg N. roll, roll, roll your leukocyte gently down the vein.... *Immunology Today* 13, 113-115 (1992)

Huber A.R., Kunkel S.L., Todd R.F., Weiss S.J.. Regulation of transendothelial neutrophil migration by endogenous interleukin-8. *Science* 254:99-102 (1991)

KAYNAKLAR

Brandt E., Petersen F., and Flad H.D. Recombination tumor necrosis factor-Alfa potentiates neutrophil degranulation in response to host defense cytokines neutrophil-activating peptide 2 and IL-8 by modulating intracellular cyclic AMP levels. *J. Immunol.* 149:1356-1364 (1992)

Dobrina A., Menegazzi R., Carlos T. M., Nardon E., Cramer R., Zucchi T., Mariani M. and Patriarca P. Mechanisms of eosinophil adherence to cultured vascular endothelial cells. *J. Clin. Invest.* 88, 20-26 (1991)

Donnelly C.S., Haslett C., Dransfield I., Robertson E.C., Carter D.W., Ross J.A., Grant I.S., Tedder T.F. Role of selectins in development of adult respiratory distress syndrome. *Lancet.* 344, 215-219 (1994)

Denman A.M., Peilton B.K., Hylton W., Malkowsky M. and Dinning W.D. Herpes Simplex virus infection and Behcet's syndrome. *Behcet's Disease*. Marcel Dekker, Inc. New York. Sayfa:415-420 (1991)

Gamble J.R. and Vadas M.A. Endothelial cell adhesiveness for human T lymphocytes is inhibited by transforming growth factor- β . *J. Immunol.* 146:1149-1154 (1991)

Gimbrone M.A., Obin M.S., Brock A.F., Luis E.A., Hass P.E., Hebert C.A., Yip Y.K., Leung D.W., Lowe D.G., Kohr W.J., Darbonne W.C., Bechthold K.B., Baker J.B. Endothelial interleukin-8: A novel inhibitor of leukocyte-endothelial interactions. *Science* 246:1601-1603 (1989)

Hogg N. roll, roll, roll your leukocyte gently down the vein.... *Immunology Today* 13, 113-115 (1992)

Huber A.R., Kunkel S.L., Todd R.F., Weiss S.J.. Regulation of transendothelial neutrophil migration by endogenous interleukin-8. *Science* 254:99-102 (1991)

Inaba G., Kaku H., Ujihara H., Miyanaga Y. and Hara R. Leukocyte adhesion molecules in active ocular lesions in Behçet's Disease. Behçet's Disease. Edit. by B. Wechsler and P. Godeau Proceeding of the 6th International Conference on Behçet's Disease, Amsterdam sayfa 13-18 (1993)

Kansu E., Koç Y., Koray Z., Duru S., Batman F., Kansu T., Akkaya S., Elem B., Şahin G., Telater H., Zileli T. Endothelin-1,2 levels in Behçet's Disease. 6 th International conference on Behçet's Disease özet kitabı Sayfa 26.(1993)

Kishimoto T.K., Jutila M.A., Berg E.L., Butcher E.C. Neutrophil Mac-1 and MEL-14 adhesion proteins inversely regulated by chemotactic factors. Science, 245, 1238-1241 (1991)

Mantovani A. and Dejana E. Cytokines as communication signals between leukocytes and endothelial cells. Immunology Today 10:370-375 (1989)

Niwa Y. and Sakane T. Auto-oxidative in Behçet's disease: Endothelial cell damage following the elevated oxygen radicals generated by stimulated neutrophils. Behçet's Disease University of Tokyo Press sayfa 301-315 (1982)

Özgün Ş.,akoğlu T.,Direskeneli H., Yurdakul S.,Yazıcı H. and Hekim N. Neutrophil adhesion to endothelial cells in patients with Behçet's disease.Behçet's Disease Edit. by B. Wechsler and P. Godeau, Proceeding of the 6th International Conference on Behçet's Disease, Amsterdam sayfa 135-138 (1993)

Pigott R., Needham L.A., Edwards R.M., Walkerand C., Power C. Structural and functional studies of the endothelial activation antigen endothelial leukocyte adhesion molecule-1 using a panel of monoclonal antibodies. J.Immunol. 147, 130-135 (1991)

Rott A. Endothelial cell binding of NAP-1/IL-8 role of neutrophil emigration: Immunology Today.13,291-294 (1992)

Schröder J.M. and Christophers E. Secretion of novel and homologous neutrophil activating peptides by LPS-stimulated

human endothelial cells. J. Immunol. 142:244-251 (1989)

Smith G.W., Kishimoto T.K., Abbass O., Hughes B., Rothlein R., McIntire L.V., Butcher E. and Anderson D.C. Chemotactic factors regulate lectin adhesion molecule-1 (LECAM-1) dependent neutrophil adhesion to cytokine-stimulated endothelial cells in vitro. J. Invest. 87, 609-618 (1991)

Stacker S.A. and Springer T.A. Leukocyte integrin p150,95 (CD11c/CD18) functions as an adhesion molecule binding to a counter-receptor on stimulated endothelium. J. Immunol. 146, 648-655 (1991)

Yamana S., Aoi K., Yamamoto M. and Ofuji T. Studies on the pathogenesis of Behçet's disease: Is Behçet's disease Mediated by mononuclear cells.Behçet's Disease. University of Tokyo press. Sayfa 459-468 (1982)

Zimmerman G.A., Prescott S.M., McIntire M.T. Endothelial cell interactions with granulocytes: tethering and signaling molecules. Immunology Today 13, 93-99 (1992)

Tablo-1 Behçet'li hasta ve sağlıklı kişilerin
nötrofillerinin yüzeylerinde adezyon molekülü
ekspresyonu (%)

	CD11a	CD11b	CD18
Normal PMN	71±8.7 (n=19)	98±4.7 (n=30)	97.8±3.6 (n=30)
Hasta PMN	89.4±10.8 (n=50)	92.8±9.8 (n=30)	95.5±10.1 (n=30)
t	p<0.001	p>0.5	p>0.5

Tablo-2 Behçet'li hasta ve sağlıklı kişilerin
lenfositlerinin yüzeyinde adezyon moleküllerinin
ekspresyonu (%)

	CD11a	CD11b	CD18	LEGAM
Normal lenfosit (n=30)	87.3±11.8	28.9±15.1	90.5±	58.6±16.9
Hasta lenfosit (n=30)	86.9±9.6	31±11.4	87±9.6	45.5±41.1
	p>0.5	p>0.5	p>0.5	p>0.5

Tablo-3 Behçet'li hasta ve sağlıklı kişilerin monositlerinin yüzeyinde adezyon moleküllerinin ekspresyonu (%)

	CD11a	CD11b	CD18	I-E CAM
Normal monosit (n=30)	91.9±8.1	87.6±10.3	92.9±8.9	87.3±
Hasta monosit (n=30)	94.6±6.2	94.2±6	96.2±5.7	88.6±10.7
	p>0.5	p<0.005	p>0.5	p>0.5

Tablo-4 Behçet'li hasta ve sağlıklı kişilerin monositlerinin yüzeyinde aktivasyon moleküllerinin ekspresyonu (%)

	25F9	G16/1	CD14
Normal monosit (n=30)	16.4±15	1.4±1.4	87.3±7.8
Hasta monosit (n=30)	48.1±32.4	15±16.2	94.9±3.7
	p<0.005	p<0.005	p<0.005

Tablo-5 Behçet'li hasta ve sağlıklı kişilerin nötrofillerde değişik koşullarda LECAM molekülü ekspresyonu (%)

	Tam kan	Nötrofil	
	Sodyum azidli soğuk ortam	Sodyum azidsiz oda ıslısı	Sodyum azidsiz oda ıslısı
Hasta PMN	98.6±3.6 (n=30)	89.1±16.3	26.4±28.5
Normal PMN	98±2 (n=30)	96±5.3	93.4±7.1
	p>0.5	p<0.02	p<0.001

Tablo-6 Behçet'li hasta ve sağlıklı kişilerin plazmalarında değişik koşullarda solubl LECAM molekülü düzeyleri ($\mu\text{g}/\text{ml}$)

	EDTA+sodyum azidli plazma soğuk ortam	EDTA li plazma ve oda ıslısı
Normal plazma	1.98±0.6 (n=15)	2±0.5 (n=15)
Hasta plazma	1.58±0.4 (n=15)	1.82±0.5 (n=15)
	p<0.05	p>0.5

Tablo-7 Behçet'li hasta ve sağlıklı kişilerin serumlarında solubl CD14 düzeyleri ($\mu\text{g}/\text{ml}$)

Hasta	8.1 ± 9.2
	(n=30)
Kontrol	1.39 ± 0.73
	(n=30)
	$p < 0.001$

Tablo-8 Behçet'li hasta ve sağlıklı kişilerin serumlarında IL-8 düzeyleri (pg/ml)

Hasta	332.7 ± 79.1
	(n=30)
Kontrol	97.5 ± 56.3
	(n=27)
	$p < 0.001$

Tablo-9 Behçet'li hasta ve sağlıklı kişilerin serumlarının PMN-endotel adezyonuna etkisi

Adezyon oranı (%)	
Hasta (n=14)	29.6±9.2
Kontrol (n=10)	24.8±11.3
	p<0.05

Tablo-10 Behçet'li hasta serumlarının neden olduğu artmış PMN-endotel adezyonunun anti-IL-8 ile inhibisyonu.

Hasta no	Adezyon oranı (%)	
	Sadece serum	Serum+anti-IL-8
72	31.2	37.4
65	40.4	51.8
79	41.6	44.8
Ortalama	37.7±5.6	44.6±7.2 p>0.5

Tablo-11 Behçet'li hasta ve sağlıklı kişilerin monosit kültür süpernatanlarının PMN-endotel adezyonuna etkisi

Adezyon oranı %			
	Stimüle olmamış monosit kültür süpernatansı	PMA ile uyarılmış LPS ile uyarılmış monosit kültür süpernatansı	monosit kültür süpernatansı
Hasta monosit	53.4±17.9 (n=8)	55.6±19.8 (n=9)	46.5±11.3 (n=9)
Kontrol monosit	38.4±9.7 (n=8)	40.4±13.5 (n=7)	41.9±13.8 (n=7)
	p<0.05	p>0.5	p>0.5

Tablo-12 Behçet'li hasta ve sağlıklı kişilerin EDTA+ sodyum azid varlığında nötrofillerin yüzeyindeki LECAM moleküline IL-8'in etkisi (%)

	Kültür Öncesi	37°C de 1 saat kültür	IL-8 ile 37°C de 1 saat kültür
Hasta PMN (n=10)	36.2±23.9	40.1±19.5	47.5±22.4
	p>0.5		p>0.5
Kontrol PMN (n=3)	67.3±5	63.3±10	56±13
	p>0.5		p>0.5

Tablo-13 Behçet'li hasta ve sağlıklı kişilerin, sadece EDTA varlığında, nötrofillerin yüzeyindeki LECAM molekülüne IL-8'in etkisi (%)

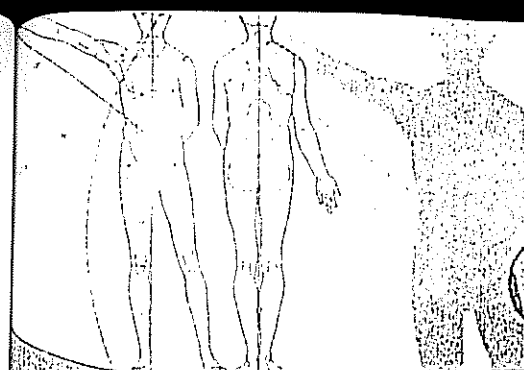
	Kültür öncesi	37°C de 1 saat kültür	IL-8 ile 37°C de 1 saat kültür
Hasta PMN (n=10)	24.8±19.8	25.2±20.4	29.1±26.4
Kontroll PMN (n=4)	58.7±7.3	49.7±8.1	51±4.5

$p > 0.5$ $p > 0.5$

NOT

Bu çalışmadaki bazı bulgular aşağıda adı belirtilen kongrelere poster veya sözlü bildiri olarak sunulmuştur ve özetleri ektedir.

1. VIII. Eular symposium "Vasculitis" (İki adet poster)
2. IX. Ulusal Romatoloji Kongresi (Bir adet bildiri)



Clinical Rheumatology

ISSN: 0770-3198

CONTENTS

Page

M.A. Cimmino, B. Seriolo, S. Accardo <i>Prevalence of nail involvement in nodal osteoarthritis</i>	203
W. Brückle, T. Dexel, K. Grasedyck, M. Schattenkirchner <i>Treatment of psoriatic arthritis with Auranofin and Gold Sodium Thiomalate</i>	209
R. Rosen, Y. Tomer, R. Carel, A. Weinberger <i>Serum 17-beta-estradiol and testosterone levels in asymptomatic hyperuricaemic men</i>	219
MLL. Pacor, D. Biasi, C. Lunardi, P. Cortina, P. Caramaschi, D. Girelli, M. Botto, G. Urbani, G. Lombardo, L.M. Bambara <i>Cyclosporin in Behcet disease: results in 16 patients after 24 months of therapy</i>	224
S. Sasaki, H. Iwata, H. Ishiguro, K. Obata, T. Miura <i>Detection of Stromelysin in synovial fluid and serum from patients with rheumatoid arthritis and osteoarthritis</i>	228
J.L. Poet, L. Tonello Serabian, H. Camboulives, M. Dufour, H. Roux <i>Bonebund ultrasound attenuation of the os calcis: preliminary study</i>	234
N. Imeryüz, H. Yazıcı, H. Koçak, M. Erk, A. Özder, S.M. Karciör, M. Örkan, Z. Yurdakul, H. Özdogan <i>Pericardial and pulmonary involvement in rheumatoid arthritis in Turkey</i>	239
E. Collantes, F.J. Tinañones, A. Cisneros, J. Áñon, P. Sanchez-Guijo <i>Variability of lipid phenotypes in hyperuricaemic-hyperlipidemic patients</i>	244
K. Krüger, M. Schattenkirchner <i>Comparison of Cyclosporin A and Azathioprine in the treatment of rheumatoid arthritis - Results of a double-blind multicentre study</i>	248
M. Sanila, A. Kotaniemi, J. Viikari, H. Isomäki <i>Height loss rate as a marker of osteoporosis in postmenopausal women with rheumatoid arthritis</i>	256
A. Oda, M. Miyata, E. Kodama, H. Satoh, Y. Sato, T. Nishimaki, H. Nomaguchi, R. Kasukawa <i>Antibodies to 65Kd heat-shock protein were elevated in rheumatoid arthritis</i>	261
B. Gömör, P. Petrou <i>Dermatoglyphics and ankylosing spondylitis</i>	265
H.M. Markusse, M. Schoonbrood, M. Oudkerk, S.C. Henzen-Logmans <i>Leucocytoclastic vasculitis as presenting feature of primary Sjögren's syndrome</i>	269
H.D. Stahl, T.H. Ellin, A. Plohlmann, E.W. Radl, J. Müller-Brand, U. Steiger, A. Tyndall <i>Central nervous system lupus: concomitant occurrence of myelopathy and cognitive dysfunction</i>	273
M. Hashimoto, S. Nonaka, E. Furuta, T. Wada, Y. Suenaga, M. Yasuda, M. Shingu, M. Nobunaga <i>Methotrexate for steroid-resistant systemic lupus erythematosus</i>	280
R. Westhovens, A. Verstraeten, D. Knockaert, M. Van Holsbeeck, A. Sileghem, D. Vanderschueren, J. Dequeker <i>Cauda Equina Syndrome complicating ankylosing spondylitis: role of computed tomography and magnetic resonance imaging demonstrated in two cases</i>	284
G. Nesher, M. Sonnenblick <i>Steroid-sparing medications in temporal arteritis - Report of three cases and review of 174 reported patients</i>	289

IX. ULUSAL ROMATOLOJİ KONGRESİ

11-14 Ekim 1994

PROGRAM ve SERBEST BİLDİRİ ÖZET KİTABI

Düzenleyen: ROMATİZMA DERNESİ (İstanbul)

**KONGRE YERİ
GRAND HOTEL VİSTA
KEMER, ANTALYA**

IX. ULUSAL ROMATOLOJİ KONGRESİ

11-14 Ekim 1994

PROGRAM ve SERBEST BİLDİRİ ÖZET KİTABI

Düzenleyen: ROMATİZMA DERNEĞİ (İstanbul)

**KONGRE YERİ
GRAND HOTEL VISTA
KEMER, ANTALYA**

BEHÇETLİ HASTADA MONOSİT KÜLTÜR SÜPERNATANLARININ
NORMAL NÖTROFİL-ENDOTEL ADEZYONUNA ETKİSİ

S.SAHİN (ÖZGÜN), S.YURDAKUL, V.HAMURYUDAN, İ.LYAZICI,
T.AKOĞLU

Marmara Üniversitesi, Tıp Fakültesi İç Hastalıkları Anabilim Dalı/
İmmünenoloji Bilim Dalı ve İstanbul Üniversitesi, Cerrahpaşa Tıp Fakültesi
İç Hastalıkları Anabilim Dalı Romatoloji Bilim Dalı, İstanbul

Behçet'li hasta serumları *in vitro* nötrofil-endotel adezyonunu artırır. Adezyondaki bu artışın nedeni serumdaki yüksek IL-8 olabilir. Hasta monositlerinin de aktive oldukları daha öneki çalışmamızda flow sitometrik incelemeye ile 25F9, G16/I ve CD14 molekülerinin artışı ile gösterilmiştir.

Bu çalışmada Behçet'li 10 hasta ve sağlıklı 10 kişinin monositlerinin kültürleri yapılrak kültür süpernatanlarının nötrofil-endotel adezyonuna etkisi araştırıldı. Dansite gradienti ile ayrılmış periselal mononükleer hücrelerden, plastik yüzeye yapıştırma yöntemi ile monositler elde edildi ve tek başına veya forbol miristat asetat (PMA) ve lipopolisakkarid (LPS) ile uyarılıarak kültürleri yapıldı. Kırksekiz saatlik kültür sonunda kültür süpernatanları toplandı.

Doksanaltı kuyulu kültür plajında üretilen endotel hücresi üzerine sağlıklı insan nötrofilleri ilave edilerek monosit kültür süpernatanları varlığında yapışmaları test edildi. Yapışan nötrofillerin gösterilebilmesi amaç ile nötrofil miyeloperoksidad enzimi ELISA yöntemi ile ölçüldü. Uyarılmış hasta monosit kültür süpernatanlarının varlığında nötrofil yapışma oranı 53.4 ± 17.9 kontrol monosit kültür süpernatanı ile 38.4 ± 9.8 ($p < 0.05$) olarak bulundu. PMA ile uyarılmış kültür süpernatanları ile nötrofil yapışma oranı hastalar için 55.6 ± 19.8 , kontroller için 40.4 ± 13.5 ($p > 0.05$); LPS ile uyarılmış monosit kültür süpernatanları ile hastalarda 46.5 ± 11.3 , kontrollerde 41.9 ± 13.8 ($p > 0.5$) olarak bulundu. Uyarı öncesinde hasta monosit kültür süpernatanlarının adezyonu artırıcı etkisi, bu hücrelerden *in vivo* aktive olduklarını göstermektedir.

Kayıt No: 249
Gel. Tarihi: 12.12.84



MARMARA ÜNİVERSİTESİ
TIP FAKÜLTESİ
HEMATOLOJİ - İMMÜNOLOJİ BİLİMLİ DALI

TÜBİTAK TIP ARAŞTIRMA GRUBU BAŞKANLIĞINA

TAG-1208 nolu projenin yürütücüsüyüm. Projenin kesin raporu ilişiktedir.

Bilgilerinize arz ederim.

Dr. Şükran Şahin (Özgün)

A handwritten signature in black ink, appearing to read "Ş. ŞAHİN".

Prof. Dr. İzzet BERKEL'e 2 kopya
verildi. Duygununa ihtiyaç
13-1-84 tarihli fondağda